



地球系统数值模拟装置项目 (地球系统模式数值模拟系统) 海洋环流模式分系统 培训

培训人：于子棚

2022年6月1日

01

分系统介绍

02

模式原理

03

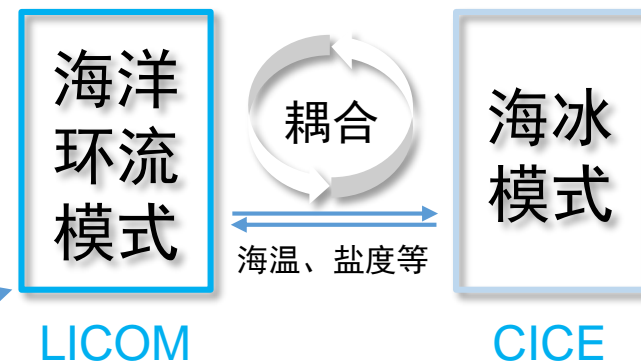
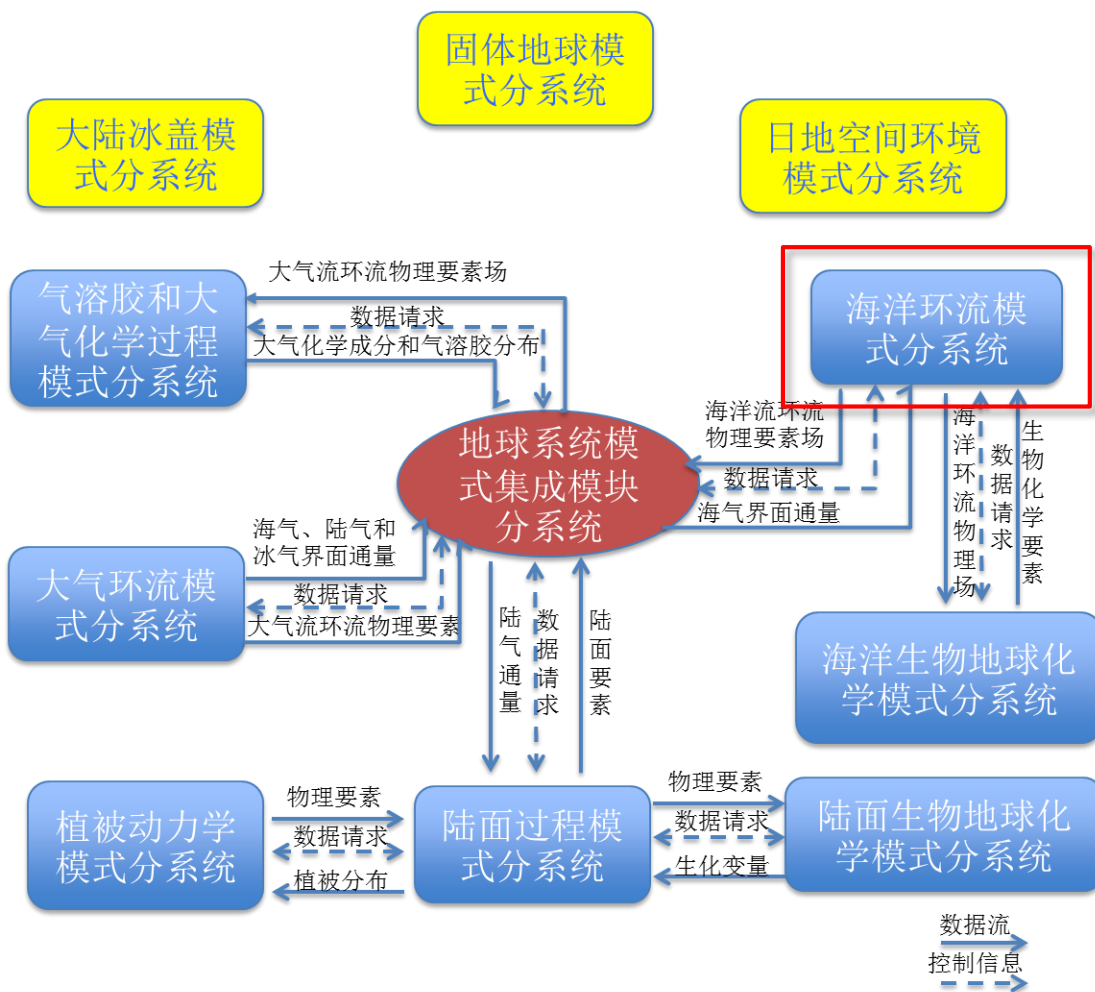
数据制备

04

结果诊断分析与应用案例



1.分系统介绍



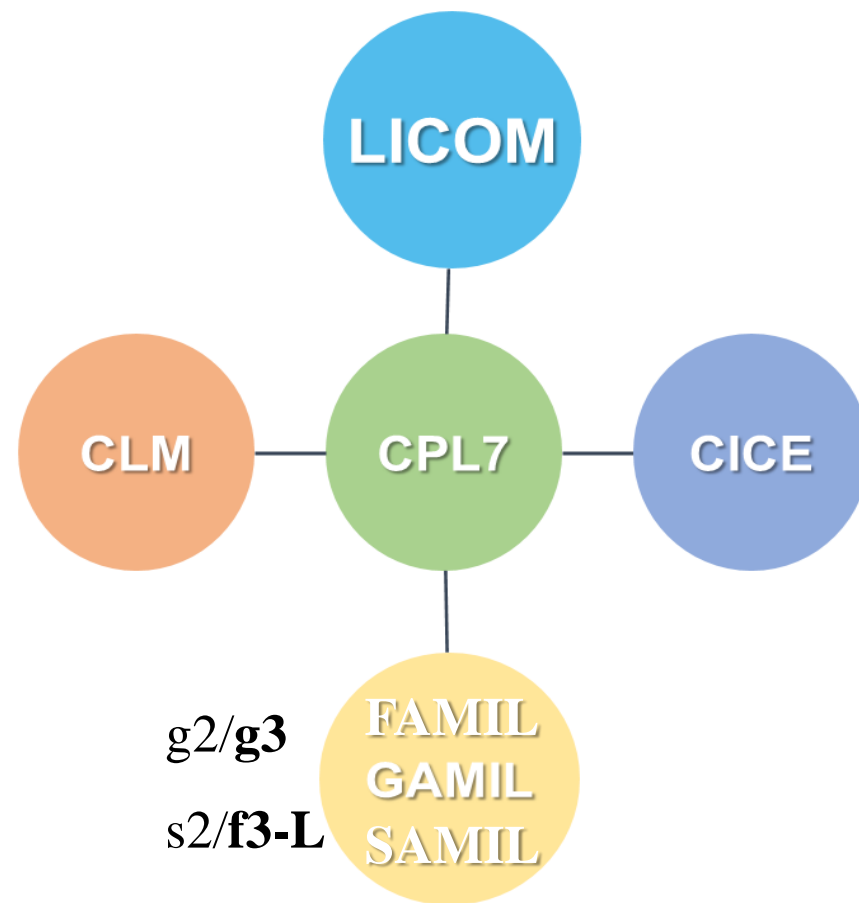
海洋环流模式分系统是海洋-海冰耦合的分系统，包括单独的海洋环流模式和海冰模式，二者通过耦合器进行通量交换，可以在给定的边界条件和初始条件下，模拟海水温度、盐度、流速、海表高度、海冰流速、海冰厚度和密集度等基本特征，同时其模拟结果可以为海洋生物地球化学模式提供**海洋环流背景场**，并可以为大气模式提供**下边界条件**，为区域海洋模式提供**侧边界条件**。

1.分系统介绍

地球系统模式CAS-ESM



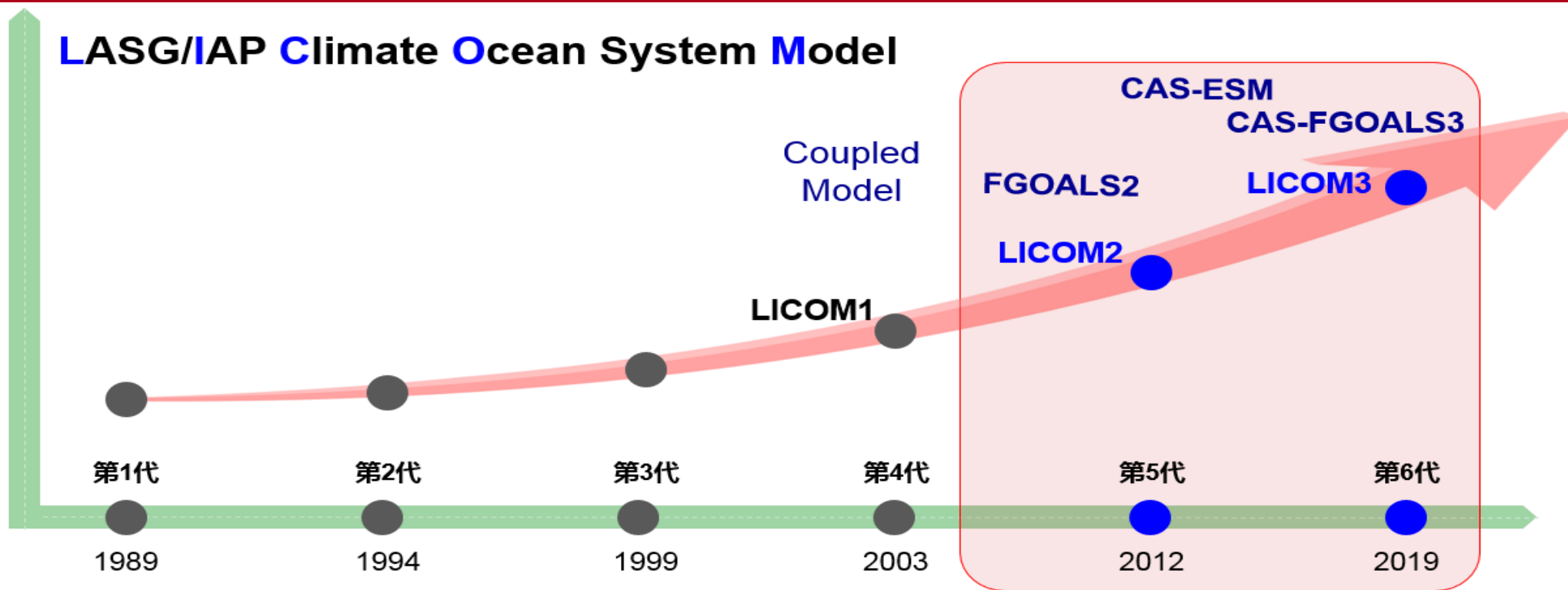
CAS-FGOALS



模拟数据提交国际耦合模式比较计划CMIP5, CMIP6, 相关结果被IPCC报告引用。



1.分系统介绍

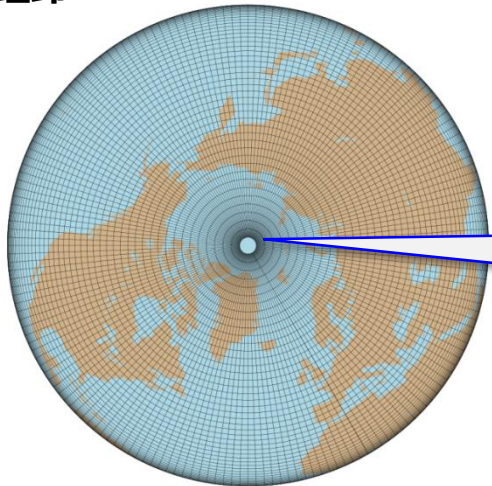


	Resolution / Domain	References
1 st	4°x5°, 4 levels ; 60°S-60°N	Zhang et al. 1989
2 nd L20	4°x5°, 20 levels ; Global	Zhang et al. 1996
3 rd L30T63	T63(1.875°x1.875°), 30 levels (20 in upper 1000m); Global	Jin et al. 1999
4 th LICOM1.0	1° / 0.5°, 30 levels ; Global	Liu et al. 2004
5 th LICOM2.0	1°/0.1°, 30/55 levels; Global/Semi-global	Liu et al. 2012; Yu et al. 2012
6 th LICOM3.0	1/0.1°, 30/55/80 levels; Global	Lin et al. 2019



1.分系统介绍

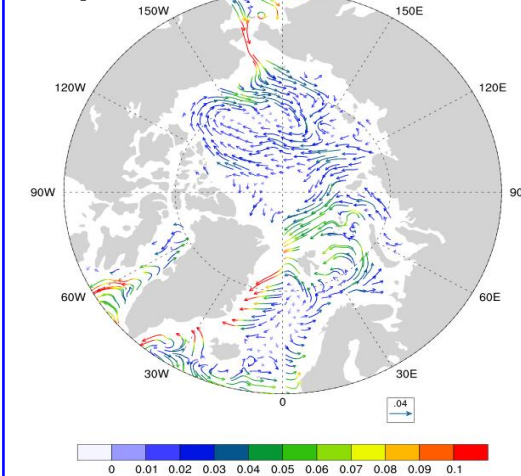
经纬-LICOM2



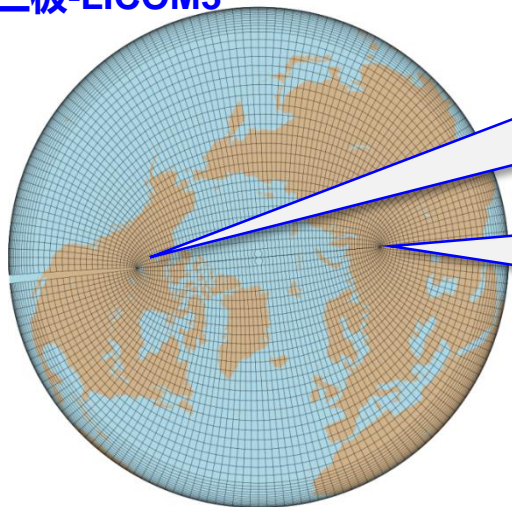
北极点，
位于海上，
处理成岛
屿

**引入适合任意水平正交的曲
线坐标，采用三极网格**
(南极+两个北极点)
模拟范围从准全球扩展到全球

经纬-LICOM2



三极-LICOM3

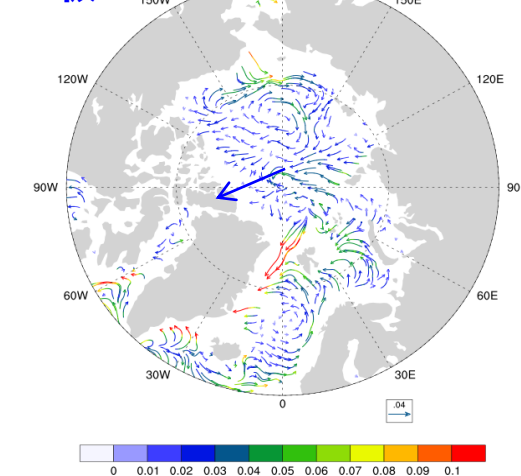


北极点，
位于陆地

优点

- ✓ 消除奇点，克服北极点附近的计算不稳定
- ✓ 消除滤波，提高并行效率
- ✓ 更好模拟北冰洋物理过程，如穿极流

三极-LICOM3



1.分系统介绍

配置		LICOM2	LICOM3
接口和并行	耦合接口	第6代耦合器 (CPL6)	第7代耦合器 (CPL7)
	并行	1维 MPI+OMP	2维MPI + OMP
动力框架	坐标系, 网格/水平, 垂直	经纬正交, 经纬度坐标/1°, 30层; 0.1°, 55层	任意水平正交曲线坐标, 三极格点 /1°, 30/80层; 0.1°, 55层
	示踪物平流	中央差	中央差/保型平流
	动量时间积分	显式	隐式
物理过程	垂直混合	2阶闭合, 主要针对混合层 (Canuto et al. 2001, 2002)	2阶闭合(Canuto et al. 2001, 2002) 内潮混合 (St. Laurent et al., 2002)
	涡旋混合	等密度面混合 (Redi 1982) 涡致平流 (Gent & McWilliams 1990)	等密度面混合 (Redi 1982) 涡致平流(Gent & McWilliams 1990) N² 厚度扩散(Ferreira et al., 2005)
数据	地形	DBDB5	ETOPO2
	初值	WOA01	PHC3.0

2.模式原理

模式发展是一项工程，既有海洋基本理论和原理，又有数值方法和计算机技术问题。

1. 选择**坐标系**，推导方程组和边界条件。
2. 确定**参数化**方案。
3. 确定分辨率，水平网格和垂直分层，实现区域和变量的**离散化**。
4. 构造时间-空间**差分格式**，将微分方程组化为代数方程组。
5. 完成**程序设计**，实现计算机模型。



2. 模式原理

基于大尺度地球流体动力学的特点，原始方程组由黏性流体力学基本方程组（即Navier-Stokes方程）简化和修改得到。

静力平衡近似

尺度分析：海洋环流**水平**运动尺度远大于海洋平均**深度**；

垂直动量方程简化为静力平衡方程：

$$\frac{\partial p}{\partial z} = -\rho g$$

Boussinesq近似

压力对密度的贡献：海洋每下潜1000米（相当于增加100个大气压），海水密度约增加5%。

→不可压缩！

- 忽略**连续方程**中密度的个别变化；
- **动量方程**压力梯度项中的密度取为常数；
- 保留**状态方程**和**静力方程**中密度的变化（浮力和水平压力梯度的来源）。

→即可压，又不可压。

湍流黏性假定

- 湍流黏性（扩散）远大于分子黏性（扩散），引入湍流黏性（扩散），**略去分子黏性（扩散）**。
- 方程闭合和参数化问题。

$$\frac{\partial u}{\partial t} = -\frac{\partial uu}{\partial x} - \frac{\partial vu}{\partial y} - \frac{\partial wu}{\partial z} - \frac{\partial \langle u'u' \rangle}{\partial x} - \frac{\partial \langle v'u' \rangle}{\partial y} - \frac{\partial \langle w'u' \rangle}{\partial z} \dots$$

2. 模式原理

原始方程组

$$\frac{\partial u}{\partial t} = -u \frac{\partial u}{\partial x} - v \frac{\partial u}{\partial y} - w \frac{\partial u}{\partial z} + f v - \frac{1}{\rho_0} \frac{\partial p}{\partial x} + F_u^x + F_u^y + F_u^z$$

水平动量方程

$$\frac{\partial v}{\partial t} = -u \frac{\partial v}{\partial x} - v \frac{\partial v}{\partial y} - w \frac{\partial v}{\partial z} - f u - \frac{1}{\rho_0} \frac{\partial p}{\partial y} + F_v^x + F_v^y + F_v^z$$

$$\frac{\partial T}{\partial t} = -u \frac{\partial T}{\partial x} - v \frac{\partial T}{\partial y} - w \frac{\partial T}{\partial z} + F_T^x + F_T^y + F_T^z + \frac{1}{\rho_0 c_p} \frac{\partial I}{\partial z}$$

温、盐方程

$$\frac{\partial S}{\partial t} = -u \frac{\partial S}{\partial x} - v \frac{\partial S}{\partial y} - w \frac{\partial S}{\partial z} + F_S^x + F_S^y + F_S^z$$

$$\frac{\partial u}{\partial x} + \frac{\partial v}{\partial y} + \frac{\partial w}{\partial z} = 0$$

连续方程

$$\frac{\partial p}{\partial z} = -\rho g$$

静力方程

$$\rho = \rho(T, S, z)$$

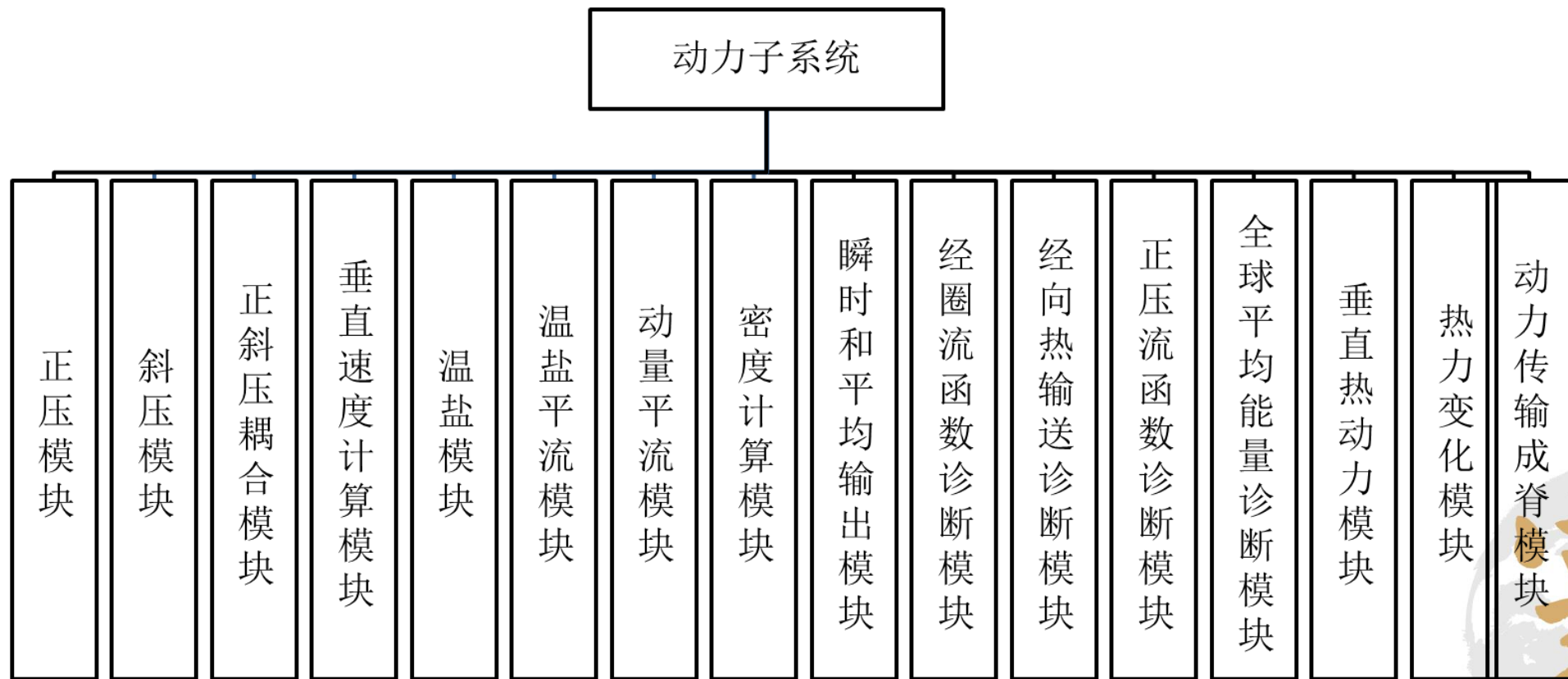
状态方程



Earth Lab

2. 模式原理

动力子系统主要负责求解海洋和海冰模式**方程组的数值解**，方程包括：考虑Boussinesq近似的动量方程，位温和盐度两种示踪物的守恒方程，表示密度、盐度、温度和压力之间非线性关系的状态方程、海表高度方程，以及海冰的热力学和动力学方程。



寰

Earth Lab

2. 模式原理

正压模块

对连续方程从海底到海表作垂直积分，并交换微分和积分次序：

$$\int_{-H}^{z_0} \left(\nabla \cdot \mathbf{v} + \frac{\partial w}{\partial z} \right) dz = 0$$

$$w|_{z=-H} = -(\mathbf{v} \cdot \nabla H)|_{z=-H}$$

海底边界条件

$$\frac{\partial z_0}{\partial t} = - \left(\frac{\partial U}{\partial x} + \frac{\partial V}{\partial y} \right)$$

海表高度预报方程

$$(U, V) \equiv \int_{-H}^{z_0} (u, v) dz$$

正压输送

海表高度的倾向就取决于垂直积分流的散度。

```
106 == do iblock = 1, nblocks_clinic
107 == this_block = GET_BLOCK(blocks_clinic(iblock), iblock)
108 == call DIV(1, div_out, wka(:,:1, iblock), wka(:,:2, iblock), this_block)
109 == do j = 3, jmt-2
110 == do i = 3, imt-2
111 == work(i, j, iblock) = vit(i, j, 1, iblock)*(-1)*div_out(i, j)*p25
112 == end do
113 == enddo
114 == end do
115
116 == call POP_HALOUPDATE(work, POP_haloClinic, POP_gridHorzLocCenter, &
117 == POP_fieldKindScalar, errorCode, fillValue = 0.0_r8)
118
119 == !!SOMP PARALLEL DO PRIVATE(IBLOCK, J, I)
120 == do iblock = 1, nblocks_clinic
121 == do j = 1, jmt
122 == do i = 1, imt
123 == h0(i, j, iblock) = h0p(i, j, iblock) + work(i, j, iblock)*dtb
124 == end do
125 == end do
126 == end do
127
128 == !-----
129 == ! COMPUTE THE "ARTIFICIAL" HORIZONTAL VISCOSITY
130 == !-----
131 == #if( defined SMAG1)
132 ==
133 == #else
134 == #if(defined BIHAR)
135 == !!SOMP PARALLEL DO PRIVATE(IBLOCK, this_block, hduk, hdvk)
136 == do iblock = 1, nblocks_clinic
137 == this_block = GET_BLOCK(blocks_clinic(iblock), iblock)
138 == call HDIFFU_DEL4(1, hduk, hdvk, ubp(:,:1, iblock), &
139 == vbp(:,:1, iblock), this_block)
140 ==
141 == ! compute divergence using a 4 point stencil
142 == !-----
143 == bid = this_block%local_id
144 ==
145 == div_out = c0
146 == do j = 2, ny_block
147 == do i = 1, nx_block-1
148 == if (k <= kmt(i, j, bid)) then
149 == div_out(i, j) = &
150 == p5*((ux(i+1, j ) + ux(i+1, j-1))*htw(i+1, j, bid) - &
151 == (ux(i , j ) + ux(i , j-1))*htw(i , j, bid) + &
152 == (uy(i+1, j ) + uy(i , j ))*hts(i , j, bid) - &
153 == (uy(i+1, j-1) + uy(i , j-1))*hts(i , j-1, bid))* &
154 == tarea_r(i, j, bid)
155 == endif
156 == end do
157 == end do
158 == end subroutine DIV
```

2. 模式原理

正斜压耦合模块

对水平动量方程做垂直积分，可得：

$$\frac{\partial U}{\partial t} = \underbrace{-g(H+z_0)\frac{\partial z_0}{\partial x} + fV}_{\text{快过程}} + \underbrace{\frac{1}{\rho_0}(\tau_x - \tau_{b,x})}_{\text{源汇项}} - \underbrace{\frac{1}{\rho_0} \int_{-H}^{z_0} \frac{\partial p_C}{\partial x} dz}_{\text{慢过程}} + X$$

$$\frac{\partial V}{\partial t} = \underbrace{-g(H+z_0)\frac{\partial z_0}{\partial y} - fU}_{\text{快过程}} + \underbrace{\frac{1}{\rho_0}(\tau_y - \tau_{b,y})}_{\text{源汇项}} - \underbrace{\frac{1}{\rho_0} \int_{-H}^{z_0} \frac{\partial p_C}{\partial y} dz}_{\text{慢过程}} + Y$$

正压压力梯度项

科氏力项

源汇项

斜压压力梯度项的垂直积分

水平平流项和水平黏性项对正压输送的贡献

$$X \equiv -\frac{\partial}{\partial x} \int_{-H}^{z_0} uudz - \frac{\partial}{\partial y} \int_{-H}^{z_0} vudz + \int_{-H}^{z_0} (F_u^x + F_u^y) dz$$

$$Y \equiv -\frac{\partial}{\partial x} \int_{-H}^{z_0} uvdz - \frac{\partial}{\partial y} \int_{-H}^{z_0} vvdz + \int_{-H}^{z_0} (F_v^x + F_v^y) dz$$

$$\begin{cases} \frac{\partial p}{\partial z} = -\rho g \\ p|_{z=0} = \rho_0 g z_0 \end{cases}$$

代表压力的斜压部分，只与密度有关。

$$p = \rho_0 g z_0 + \int_z^0 \rho g dz \equiv \rho_0 g z_0 + p_C$$

压力梯度项

$$\frac{1}{\rho_0} \frac{\partial p}{\partial x} = -g \frac{\partial z_0}{\partial x} - \frac{1}{\rho_0} \frac{\partial p_C}{\partial x}$$

$$\frac{1}{\rho_0} \frac{\partial p}{\partial y} = -g \frac{\partial z_0}{\partial y} - \frac{1}{\rho_0} \frac{\partial p_C}{\partial y}$$



2. 模式原理

正斜压耦合模块

模态分解方法 (Blumberg and Mellor, 1987)

假定当前时刻所有的模式变量值均已得到, 考虑如何由当前时刻的变量值计算出下一时刻的变量值。由于我们的主要目的是将表面波分离出来, 故以下只讨论动量方程从当前时刻到下一时刻的积分 (其间也要涉及连续方程)。为叙述简单起见, 以下提到的“方程”均指和微分方程相应的差分方程。

第一步, 从当前时刻出发, 用时间步长 Δt_c 将完全的动量方程 (4.1) 和 (4.2) 积分一步, 得到下一时刻 u, v 的预估值 u^*, v^* 。

第二步, 由于动量方程 (4.1) 和 (4.2) 中既包含斜压分量也包含正压分量, 而积分的时间步长 Δt_c 远大于正压过程所能允许的时间步长 Δt_B , 所以预估值 u^*, v^* 的误差应当主要来源于其中的正压部分。为避免正压部分误差的积累, 将 u^*, v^* 中的正压分量扣除, 只保留斜压分量 u', v' :

$$u' = u^* - \bar{u}$$

$$v' = v^* - \bar{v}$$

其中

$$\bar{u} = \frac{1}{H+z_0} \int_{-H}^{z_0} u^* dz$$

$$\bar{v} = \frac{1}{H+z_0} \int_{-H}^{z_0} v^* dz$$

$$\frac{\partial z_0}{\partial t} = - \left(\frac{\partial U}{\partial x} + \frac{\partial V}{\partial y} \right)$$
$$\frac{\partial U}{\partial t} = -g(H+z_0) \frac{\partial z_0}{\partial x} + fV + \frac{1}{\rho_0} (\tau_x - \tau_{b,x}) - \frac{1}{\rho_0} \int_{-H}^{z_0} \frac{\partial p_C}{\partial x} dz + X$$
$$\frac{\partial V}{\partial t} = -g(H+z_0) \frac{\partial z_0}{\partial y} - fU + \frac{1}{\rho_0} (\tau_y - \tau_{b,y}) - \frac{1}{\rho_0} \int_{-H}^{z_0} \frac{\partial p_C}{\partial y} dz + Y$$

第三步, 为了得到正压分量的比较精确的估计, 回到当前时刻, 用表面波过程所允许的时间步长 Δt_B 将 (4.20)、(4.25) 和 (4.26) 构成的正压模态方程组积分 N 步 (总的时间跨度为 Δt_c), 得到下一时刻的海表高度 z_0 以及正压输送量 U, V , 由 U, V 可以计算正压速度分量, 用于和第二步得到的斜压速度组成下一时刻的速度:

$$u = u' + \frac{U}{H+z_0}$$
$$v = v' + \frac{V}{H+z_0} \tag{4.54}$$

和 u^*, v^* 相比, u, v 中的正压分量的误差得到了控制, 因此这种算法有利于在长时期积分过程中保持计算稳定性。

```
276 !-----
277 ! INTERACTION BETWEEN BAROTROPIC AND BAROCLINIC MODES
278 !-----
279 call VINTEG(U,WORK)
280
281 !!$OMP PARALLEL DO PRIVATE(IBLOCK,K,J,I)
282 do iblock = 1, nblocks_clinic
283   do k = 1, km
284     do j = 1, jmt
285       do i = 1, imt
286         u(i,j,k,iblock) = (u(i,j,k,iblock) - work(i,j,iblock) + &
287                               ub(i,j,iblock))*viv(i,j,k,iblock)
288       end do
289     end do
290   end do
291 end do
292
293 call VINTEG(V,WORK)
294
295 !!$OMP PARALLEL DO PRIVATE(IBLOCK,K,J,I)
296 do iblock = 1, nblocks_clinic
297   do k = 1, km
298     do j = 1, jmt
299       do i = 1, imt
300         v(i,j,k,iblock) = (v(i,j,k,iblock) - work(i,j,iblock) + &
301                               vb(i,j,iblock))*viv(i,j,k,iblock)
302       end do
303     end do
304   end do
305 end do
306
307 ! now invert
308 do k = kz, 1, -1
309   g0 = 1.0/(b8(k) - c8(k)*e8(k))
310   e8(k-1) = a8(k)*g0
311   f8(k-1) = (d8(k) + c8(k)*f8(k))*g0
312 end do
313
314 ! b.c. at surface
315 wk(i,j,1,iblock) = (e8(0)*topbc(i,j,iblock) + &
316                     f8(0))*viv(i,j,1,iblock)
317
318 do k = 2, kz
319   wk(i,j,k,iblock) = (e8(k-1)*wk(i,j,k-1,iblock) + &
320                       f8(k-1))*viv(i,j,k,iblock)
321 end do
322
323 end if ! if(kmu(i,j,iblock) > 0) then
324 end do ! do i = 3, imt-2
325 end do ! do j = 3, jmt-2
326 end do ! do iblock = 1, nblocks_clinic
327
328 return
329 end subroutine INVTRIU
```

2. 模式原理

动量平流模块

“两点格式”

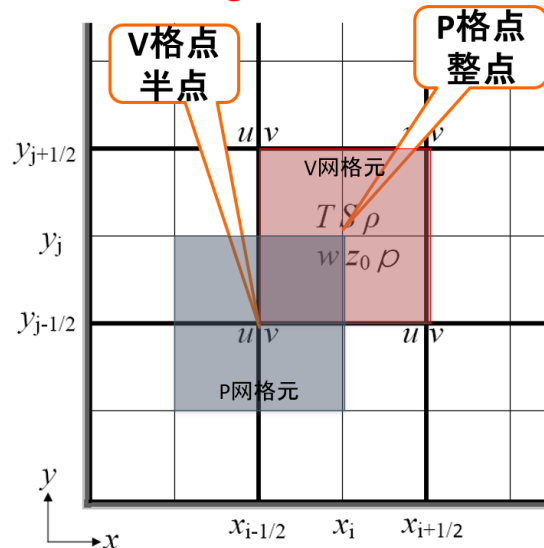
整点 $(\Delta_x F)_{i+\frac{1}{2}} \equiv F_{i+1} - F_i, i = 1, 2, \dots, I-1$

整点 $(\bar{F}^x)_{i+\frac{1}{2}} \equiv \frac{F_{i+1} + F_i}{2}, i = 1, 2, \dots, I-1$

半点 $(\Delta_x G)_i \equiv G_{i+\frac{1}{2}} - G_{i-\frac{1}{2}}, i = 1, 2, \dots, I$

半点 $(\bar{G}^x)_i \equiv \frac{G_{i+\frac{1}{2}} + G_{i-\frac{1}{2}}}{2}, i = 1, 2, \dots, I$

水平网格 (B-grid) 和变量的安排



```

72 == do k = 1, km
73 == do j = 1, jmt-1
74 == do i = 2, imt
75 == u_wface(i,j,k) = (uuu(i-1,j,k) + &
76 == uuu(i, j,k))*P25*hue(i-1,j, iblock)
77 == v_sface(i,j,k) = (vvv(i,j, k) + &
78 == vvv(i,j+1,k))*P25*hun(i, j+1,iblock)
79 == end do
80 == end do
81 == end do
82 ==
83 == else if ( adv_momentum(1:4) == 'flux' ) then
84 ==
85 == do k = 1, km
86 == do j = 1, jmt-1
87 == do i = 2, imt
88 == u_wface(i,j,k) = (uuu(i-1,j,k)*dyu(i-1,j,iblock) + &
89 == uuu(i, j,k)*dyu(i, j,iblock))*P25
90 == v_sface(i,j,k) = (vvv(i,j, k)*dxu(i,j, iblock) + &
91 == vvv(i,j+1,k)*dxu(i,j+1,iblock))*P25
92 == end do
93 == end do
94 == end do
95 == else
96 == call EXIT_LICOM(sigAbort,'The false advection option for tracer')
97 == end if ! if ( adv_momentum(1:8) == 'centered' ) then

```

```

156 == if(k == 1 ) then
157 == adv_z1 = 0.0D0
158 == adv_z3 = 0.0D0
159 == else
160 == adv_z1 = www(i,j,k)*(uuu(i,j,k-1) + uuu(i,j,k))*p5
161 == adv_z3 = www(i,j,k)*(vvv(i,j,k-1) + vvv(i,j,k))*p5
162 == end if
163 ==
164 == if(k == km ) then
165 == adv_z2 = 0.0D0
166 == adv_z4 = 0.0D0
167 == else
168 == adv_z2 = www(i,j,k+1)*(uuu(i,j,k ) + uuu(i,j,k+1))*p5
169 == adv_z4 = www(i,j,k+1)*(vvv(i,j,k ) + vvv(i,j,k+1))*p5
170 == end if
171 == adv_uu(i,j,k) = adv_uu(i,j,k) - odzp(k)*(adv_z2-adv_z1)
172 == adv_vv(i,j,k) = adv_vv(i,j,k) - odzp(k)*(adv_z4-adv_z3)
173 == end do ! do i = 3, imt-2
174 == end do ! do j = 3, jmt-2
175 == end do ! do k = 1, km
176 ==
177 == else
178 == write(6,*) "adv_momentum =", adv_momentum
179 == call EXIT_LICOM(sigAbort,'The false advection option for momentum')
180 == end if ! if( adv_momentum(1:8) == 'centered' ) then
181 ==
182 == end subroutine ADVECTION_MOMENTUM

```

以u-动量方程为例:

$$\left(u \frac{\partial u}{\partial x} + v \frac{\partial u}{\partial y} \right)_{i+\frac{1}{2}, j+\frac{1}{2}} \approx \left[\frac{1}{\Delta x} (\bar{u}^x \Delta_x u^x) + \frac{1}{\Delta y} (\bar{u}^y \Delta_y u^y) \right]_{i+\frac{1}{2}, j+\frac{1}{2}}$$

$$\left(\frac{\partial^2 u}{\partial x^2} \right)_{i+\frac{1}{2}, j+\frac{1}{2}} \approx \frac{1}{\Delta x^2} [\Delta_x (\Delta_x u)]_{i+\frac{1}{2}, j+\frac{1}{2}}$$

$$\left(\frac{\partial^2 u}{\partial y^2} \right)_{i+\frac{1}{2}, j+\frac{1}{2}} \approx \frac{1}{\Delta y^2} [\Delta_y (\Delta_y u)]_{i+\frac{1}{2}, j+\frac{1}{2}}$$

2. 模式原理

垂直速度计算模块

z方向上“两点格式”

$$\frac{1}{\Delta Z} (\Delta_Z W)_k = \frac{W_{k-\frac{1}{2}} - W_{k+\frac{1}{2}}}{\Delta Z} = -D_k$$

$$2 \leq k \leq K$$

$$W_{K+\frac{1}{2}} = 0$$

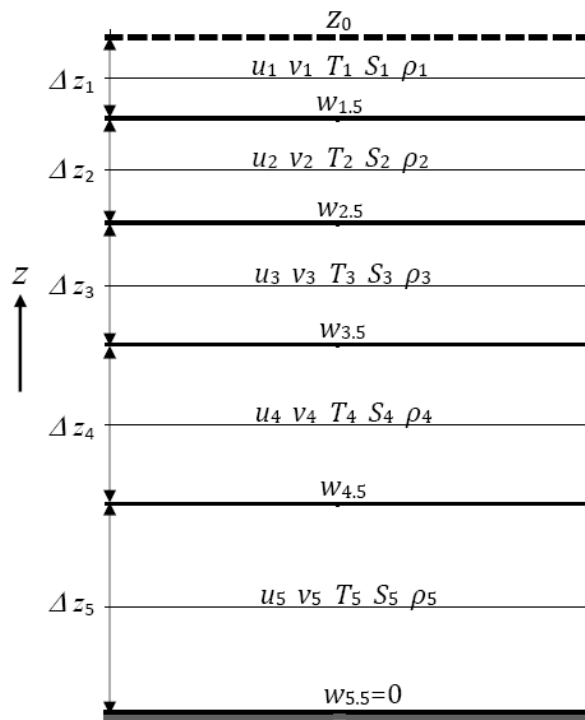
其中， D_k 表示该层的水平散度。

$$D_{i,j} \equiv \left(\frac{\partial u}{\partial x} + \frac{\partial v}{\partial y} \right)_{i,j} \approx \frac{1}{\Delta x} \left[\frac{u_{i+\frac{1}{2},j+\frac{1}{2}} + u_{i+\frac{1}{2},j-\frac{1}{2}}}{2} - \frac{u_{i-\frac{1}{2},j+\frac{1}{2}} + u_{i-\frac{1}{2},j-\frac{1}{2}}}{2} \right] + \frac{1}{\Delta y} \left[\frac{v_{i+\frac{1}{2},j+\frac{1}{2}} + v_{i-\frac{1}{2},j+\frac{1}{2}}}{2} - \frac{v_{i+\frac{1}{2},j-\frac{1}{2}} + v_{i-\frac{1}{2},j-\frac{1}{2}}}{2} \right]$$

在模式表层 (k=1),

$$w_{i,\frac{1}{2}} = \left(\frac{\partial z_0}{\partial t} \right)_i + [u \Delta_x z_0^x]_{i,1}$$

$$\left(\frac{\partial z_0}{\partial t} \right)_i = -\frac{1}{\Delta x} \Delta_x \left\{ \sum_{k=K}^1 u \times \Delta Z \right\}_{i,k} - \frac{1}{\Delta x} \Delta_x \left\{ \sum_{k=K}^1 u \times \Delta \bar{z}_0^x \right\}_{i,1}$$



```

129      !!$OMP PARALLEL DO PRIVATE(IBLOCK,J,I)
130      =      do iblock = 1, nblocks_clinic
131      =          do j = 2, jmt-1
132      =              do i = 2, imt-1
133      =                  work(i,j,iblock) = 1.0d0/(1.0d0 + h0wk(i,j,iblock)* &
134      =                      ohbt(i,j,iblock))
135      =              end do
136      =          end do
137      =      end do
138
139      !!$OMP PARALLEL DO PRIVATE(IBLOCK,K,J,I)
140      =      do iblock = 1, nblocks_clinic
141      =          do k = 2, km
142      =              do j = 2, jmt-1
143      =                  do i = 2, imt-1
144      =                      ws(i,j,k,iblock) = ws(i,j,k,iblock)*work(i,j,iblock)
145      =                  end do
146      =              end do
147      =          end do
148      =      end do
149
150      =      deallocate(uk,vk)
151      =      return
152
153      =      end subroutine UPWELL
    
```



2. 模式原理

温度平流模块

通常情况下，一个单纯经历平流的标量场，在平流的过程中，其值的变化范围会在初值的取值范围内。根据这个规则，在结合 Lax-Wendroff 二阶精度差分方案和迎风方案的基础上，提出了两步正定保形平流方案。

具体计算：

在不考虑扩散的情况下，示踪物方程的通量形式可以写成如下形式：

$$\frac{\partial F}{\partial t} + \nabla \cdot (\vec{V}F) = 0$$

其中， $F=F(x,y,z,t)$ 为无扩散的示踪物， $V=V(u,v,w)$ 为三维速度场。

为了简单起见，考虑其在一维的情况，介绍两步正定保形平流方案的具体计算方法，多维的情况可以简单推广。对于一维的情况，将上式可以写成：

$$\frac{\partial F}{\partial t} + \frac{\partial uF}{\partial x} = 0$$

1: 运用 Lax-Wendroff 格式进行预积分。设第 n 时刻的值为 F_i^n ，利用 Lax-Wendroff 格式预积分一步后得到的值为 F_i^* 。即：

$$F_i^* = F_i^n - \frac{\Delta t}{2\Delta x} [u_{i+\frac{1}{2}}^n (F_{i+1}^n + F_i^n) - u_{i-\frac{1}{2}}^n (F_i^n + F_{i-1}^n)] + \frac{\Delta t}{2\Delta x} [|u_{i+\frac{1}{2}}^n | \frac{\Delta t}{\Delta x} (F_{i+1}^n - F_i^n) - |u_{i-\frac{1}{2}}^n | \frac{\Delta t}{\Delta x} (F_i^n - F_{i-1}^n)]$$

然后，对预积分得到的 F_i^* 用保形传输规则进行判断，判断是否满足：

$$F_{i \min}^n \leq F_i^* \leq F_{i \max}^n$$

其中：

$$F_{i \max}^n = \max(F_{i-1}^n, F_i^n, F_{i+1}^n) \\ F_{i \min}^n = \min(F_{i-1}^n, F_i^n, F_{i+1}^n)$$

如果满足该判定条件，则表示满足保形传输规则，否则表示破坏了保形传输规则。

A) 如果不满足保形传输规则，则对该点采用迎风差格式，即：

$$F_i^{n+1} = F_i^n - \frac{\Delta t}{2\Delta x} [u_{i+\frac{1}{2}}^n (F_{i+1}^n + F_i^n) - u_{i-\frac{1}{2}}^n (F_i^n + F_{i-1}^n)] + \frac{\Delta t}{2\Delta x} [|u_{i+\frac{1}{2}}^n | (F_{i+1}^n - F_i^n) - |u_{i-\frac{1}{2}}^n | (F_i^n - F_{i-1}^n)]$$

B) 如果满足保形传输规则，则利用 F_i^* 对 Lax-Wendroff 格式作校正积分，校正方法如下：

$$F_i^{n+1} = F_i^n - \frac{\Delta t}{2\Delta x} [u_{i+\frac{1}{2}}^n (F_{i+1}^n + F_i^n) - u_{i-\frac{1}{2}}^n (F_i^n + F_{i-1}^n)] + \frac{\Delta t}{2\Delta x} [| \tilde{u}_{i+\frac{1}{2}}^n | (F_{i+1}^n - F_i^n) - | \tilde{u}_{i-\frac{1}{2}}^n | (F_i^n - F_{i-1}^n)]$$

$$\text{令 } A_i = (F_i^* - F_{i \max}^n)(F_i^* - F_{i \min}^n)$$

在满足保形规则（即 $A_i < 0$ ）的情况下， $|\tilde{u}_{i+\frac{1}{2}}^n|$ 和 $|\tilde{u}_{i-\frac{1}{2}}^n|$ 的取值有以下四种情况：

$$\text{当 } A_{i+i} > 0, A_{i-i} > 0 \text{ 时: } |\tilde{u}_{i+\frac{1}{2}}^n| = |u_{i+\frac{1}{2}}^n|, |\tilde{u}_{i-\frac{1}{2}}^n| = |u_{i-\frac{1}{2}}^n|$$

$$\text{当 } A_{i+i} > 0, A_{i-i} < 0 \text{ 时: } |\tilde{u}_{i+\frac{1}{2}}^n| = |u_{i+\frac{1}{2}}^n|, |\tilde{u}_{i-\frac{1}{2}}^n| = |u_{i-\frac{1}{2}}^n| \frac{\Delta t}{2\Delta x}$$

$$\text{当 } A_{i+i} < 0, A_{i-i} > 0 \text{ 时: } |\tilde{u}_{i+\frac{1}{2}}^n| = |u_{i+\frac{1}{2}}^n| \frac{\Delta t}{2\Delta x}, |\tilde{u}_{i-\frac{1}{2}}^n| = |u_{i-\frac{1}{2}}^n|$$

$$\text{当 } A_{i+i} < 0, A_{i-i} < 0 \text{ 时: } |\tilde{u}_{i+\frac{1}{2}}^n| = |u_{i+\frac{1}{2}}^n| \frac{\Delta t}{2\Delta x}, |\tilde{u}_{i-\frac{1}{2}}^n| = |u_{i-\frac{1}{2}}^n| \frac{\Delta t}{2\Delta x}$$

```
224 == do k = 1, km
225 == do j = 1, jmt
226 == do i = 2, imt-1
227 == if( adv_tracer(1:8) == 'centered' .or. &
228 == adv_tracer(1:5) == 'tspas' ) then
229 == v_sface(i,j,k) = (vvv(i, j,k) + &
230 == vvv(i+1,j,k))*hts(i,j,iblock)*P25
231 == else if( adv_tracer(1:4) == 'flux' ) then
232 == v_sface(i,j,k) = (vvv(i, j,k)*dxu(i, j,iblock) + &
233 == vvv(i+1,j,k)*dxu(i+1,j,iblock))*P25
234 == end if
235 == end do
236 == end do
237
238 == do j = 2,jmt-1
239 == do i = 1,imt
240 == if( adv_tracer(1:8) == 'centered' .or. &
241 == adv_tracer(1:5) == 'tspas' ) then
242 == u_wface(i,j,k) = (uuu(i,j-1,k) + &
243 == uuu(i,j, k))*htw(i,j,iblock)*P25
244 == else if( adv_tracer(1:4) == 'flux' ) then
245 == u_wface(i,j,k) = (uuu(i,j-1,k)*dyu(i,j-1,iblock) + &
246 == uuu(i,j, k)*dyu(i,j,iblock))*P25
247 == end if
248 == end do
249 == end do
250
593 == adv_xx = -(adv_x0 + adv_xy1 + adv_xy2 + adv_c1)
594 == adv_yy = -(adv_y0 + adv_xy3 + adv_xy4 + adv_c2)
595 == adv_zz = -(adv_z0 + adv_zb1 + adv_zb2 + adv_zc)
596 == adv_tt = adv_xx + adv_yy + adv_zz
597
598 == ax(:,:,,mtracer,iblock) = adv_xx(:,:,,)
599 == ay(:,:,,mtracer,iblock) = adv_yy(:,:,,)
600 == az(:,:,,mtracer,iblock) = adv_zz(:,:,,)
601
602 == deallocate( adv_c1,adv_c2,adv_zc)
603 == deallocate( adv_x0, adv_y0, adv_xx, adv_yy)
604 == deallocate( adv_xy1, adv_xy2, adv_xy3, adv_xy4)
605 == deallocate( at00, atmax, atmin )
606 == deallocate( adv_zz, adv_z0, adv_zb1 )
607 == deallocate( adv_zb2, atmaxz, atminz, atz)
608
609 ==
610 == else
611 == call EXIT_LICOM(sigAbort,'The false advection option for tracer')
612 == end if ! if( adv_tracer(1:8) == 'centered' ) then
613 == end subroutine ADVECTION_TRACER
```

2. 模式原理

密度计算模块

模式中位密度计算采用的是一个三次多项式拟合的 UNESCO (United Nations Educational, Scientific and Cultural Organization) 公式, 扣除所在深度的参考层结, 只计算密度对参考位温和参考盐度的扰动量 (Bryan和Cox, 1972; UNESCO, 1981)。计算公式为:

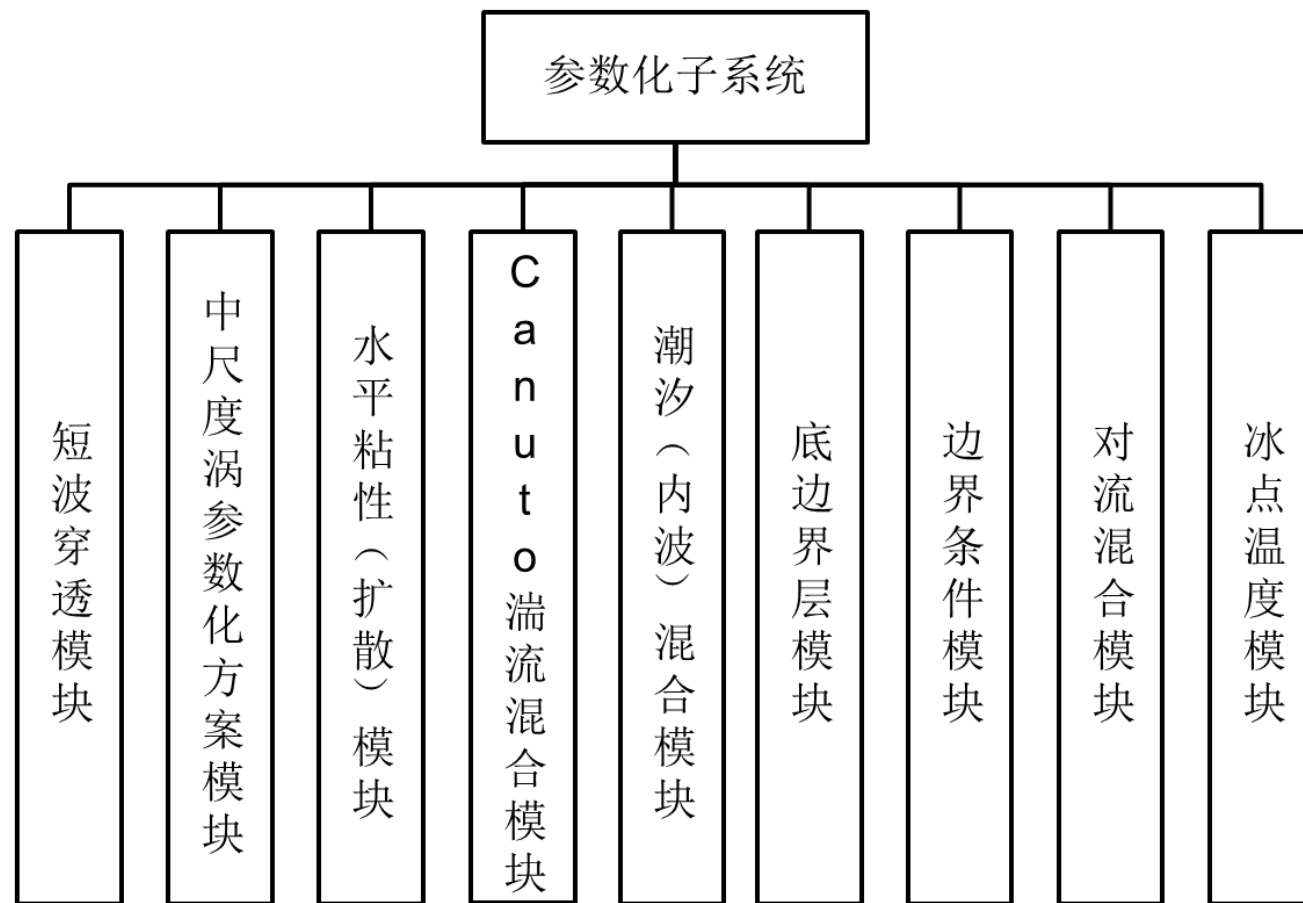
$$\begin{aligned} \delta\rho &= c_1\delta T + c_2\delta S \\ &+ c_3\delta T^2 + c_4\delta T\delta S + c_5\delta S^2 \\ &+ c_6\delta T^3 + c_7\delta T\delta S^2 + c_8\delta T^2\delta S + c_9\delta S^3 \\ \delta\rho &\equiv \rho - \rho_r, \quad \delta T \equiv T - T_r, \quad \delta S \equiv S - S_r \end{aligned}$$

ρ_r , T_r 和 S_r 分别表示参考密度、参考位温和参考盐度。 ρ 、 T 和 S 的单位分别为 kg m^{-3} 、 $^{\circ}\text{C}$ 和 $(\text{psu}-35)/1000$ 。特别需要说明的是, 方程中 S 定义为 $(S_p-35)/1000$ 。九个系数考虑了压力对密度的影响, 故而是随深度而变化的。

```
62  subroutine DENSITY
63
64
65  !LOCAL VARIABLES
66  integer  :: iblock
67  real(r8) :: tq,sq
68
69  ! .....
70  ! Start of code body
71  ! .....
72
73  !!SOMP PARALLEL do PRIVATE(IBLOCK,K,J,I,TQ,SQ)
74  do iblock = 1, nblocks_clinic
75    do k = 1, km
76      do j = jst,jet
77        do i = 1,imt
78          if(vit(i,j,k,iblock) > 0.0) then
79            tq = atb(i,j,k,1,iblock) - to(k)
80            sq = atb(i,j,k,2,iblock) - so(k)
81
82
83            pdensity(i,j,k,iblock) = 1.0d+3 + po(k)+ (c(k,1) + &
84              (c(k,4) + c(k,7)*sq)*sq + &
85              (c(k,3) + c(k,8)*sq+c(k,6)*tq)* &
86              tq)*tq + (c(k,2) + (c(k,5) + &
87              c(k,9)*sq)*sq)*sq
88          else
89            pdensity(i,j,k,iblock) = 0.0
90          end IF
91        end do
92      end do
93    end do
94  end do
95
96  return
97
98  end subroutine DENSITY
99
100 function DENS(tq,sq,kk)
101
102  ! INPUT PARAMETERS:
103  real(r8),intent(in) :: tq  !< @param tq
104  real(r8),intent(in) :: sq  !< @param sq
105  integer, intent(in)  :: kk  !< @param kk
106
107  ! LOCAL PARAMETER
108  real(r8) :: dens ! dens
109
110  ! .....
111  ! Start of code body
112  ! .....
113
114  dens = (c(kk,1) + (c(kk,4) + c(kk,7)*sq)*sq + &
115    (c(kk,3) + c(kk,8)*sq + c(kk,6)*tq)*tq)*tq + &
116    (c(kk,2) + (c(kk,5) + c(kk,9)*sq)*sq)*sq
117
118  return
119  end function DENS
```

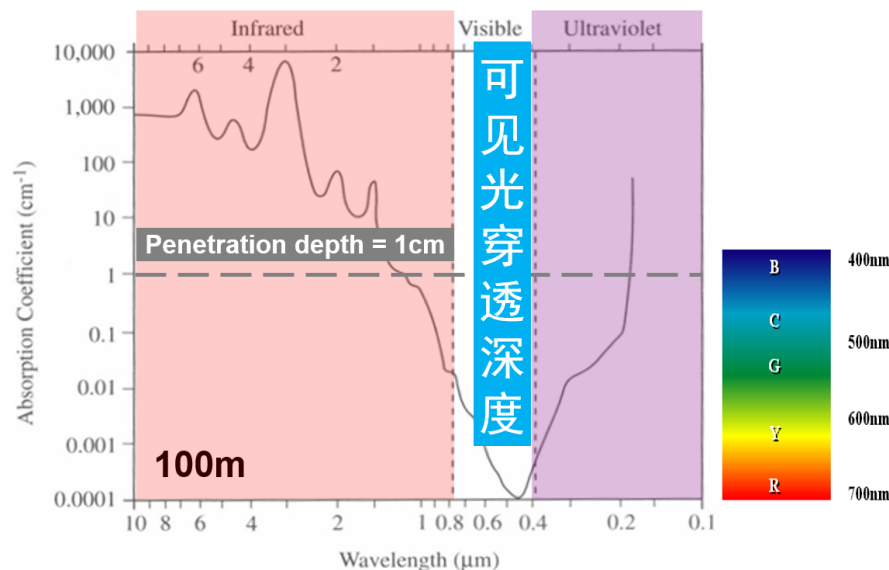
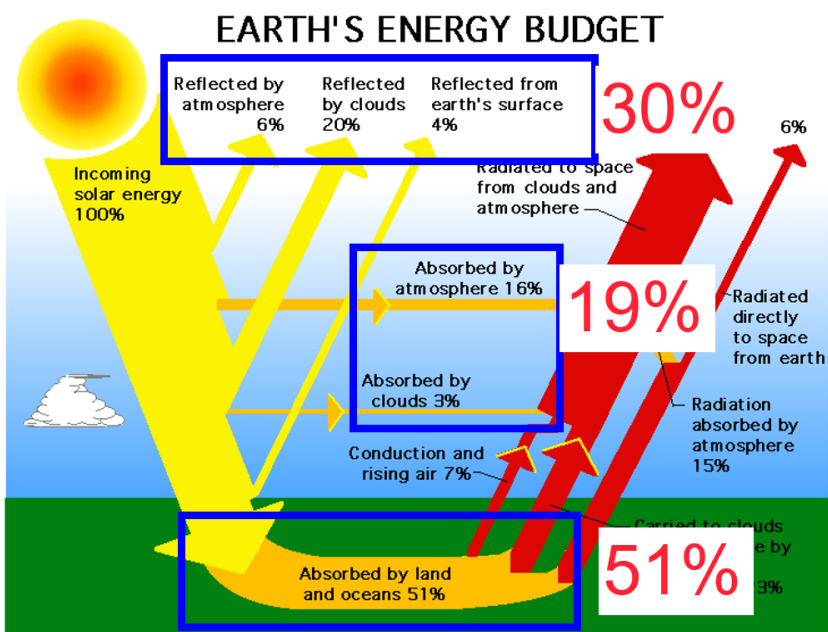
2. 模式原理

参数化子系统负责处理海洋和海冰中的**物理过程**，主要分两类：一类是使用简单的**近似方程**表述复杂的海洋物理过程、海冰特征状态和复杂物理过程，如太阳短波辐射穿透过程，融池分布、海冰的强度、含盐胞的海冰比热、冰气-冰海间的扰动通量和应力、短波辐射反照和传输过程；另一类是**次网格过程**，即模式网格无法分辨的过程，主要包括海表湍流通量、水平粘性、对流调整方案、沿等密度面（或中性面）的混合以及穿越等密度面的混合等。



2. 模式原理

短波辐射穿透模块



短波穿透影响:

- 上层海洋层结;
- 混合过程;
- 海表温度, 进而影响海气通量交换以及海洋和大气环流。

海洋的典型吸收系数 (取自 Thomas et al., 1999)

Jerlov (1968) 方案

使用双 e 指数表示短波辐射随深度的变化, 公式如下:

$$I_0 = S_{w0} \left[A_1 e^{\frac{-z}{B_1}} + A_2 e^{\frac{-z}{B_2}} \right]$$

其中, 取 $A_1=0.58$, $A_2=1-A_1=0.42$, 穿透深度 $B_1=0.35m$, $B_2=23.0m$ 。这意味着 58% 的能量在 0.35m 的深度上呈 e 指数衰减, 42% 的能量在 23.0m 的深度内呈 e 指数衰减。公式第一部分表示的主要是红外频段的能量, 而第二部分主要是可见光和紫外这些波长相对较短的频段的能量。

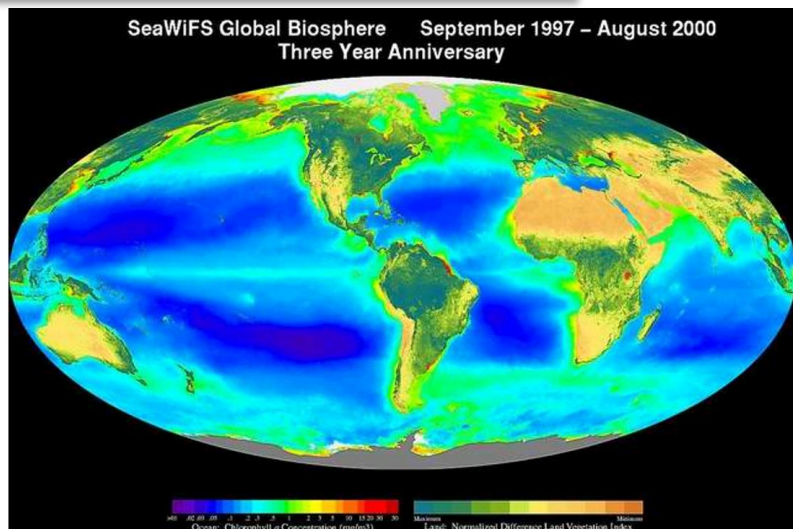
$$\frac{\partial T}{\partial t} = -(u + u^*) \frac{\partial T}{\partial x} - (v + v^*) \frac{\partial T}{\partial y} - (w + w^*) \frac{\partial T}{\partial z} + K_h \Delta T + \frac{\partial}{\partial z} \left(K_v \frac{\partial T}{\partial z} \right) + R(K_I, T) + \frac{1}{\rho C_p} \frac{\partial I_0}{\partial z} + C_T$$

太阳短波辐射穿透对海洋的加热, I_0 是短波辐射在海洋中的分布廓线。



2. 模式原理

短波辐射穿透模块



卫星观测的海洋浮游植物和陆面植被

Ohlmann (2003) 方案

在开洋面上,海水对短波辐射的吸收在很大程度上受浮游植物的影响。因此,近期发展了依赖于浮游植物含量的方案,这里的浮游植物含量用海水中叶绿素含量表示。方案仍采用双指数形式,但是吸收的比例系数和穿透的深度都是叶绿素的函数,公式如下:

$$I_0 = S_{w0} \left[A_1(chl) e^{\frac{-z}{B_1(chl)}} + A_2(chl) e^{\frac{-z}{B_2(chl)}} \right]$$

对于叶绿素含量大的海域,穿透系数 B 更小,红外吸收系数 A_1 越大,短波吸收系数 A_2 越小。

```
10  subroutine SW_ABSOR
11
12
13  #include <def-undef.h>
14
15      use precision_mod
16      use param_mod
17      use pmix_mod
18      use pconst_mod
19      use constant_mod, only: ODOCP
20      use sw_mod
21      use forc_mod
22      use domain
23
24      implicit none
25      integer :: iblock
26
27      ! .....
28      ! Start of code body
29      ! .....
30
31  #if (defined SOLARCHLORO)
32      !-----
33      ! chl for table look-up
34      !-----
35      chloc=(/ 0.001D0,0.005D0, 0.01D0, 0.02D0,&
36              .03D0, .05D0, .10D0, .15D0, &
37              .20D0, .25D0, .30D0, .35D0, &
```



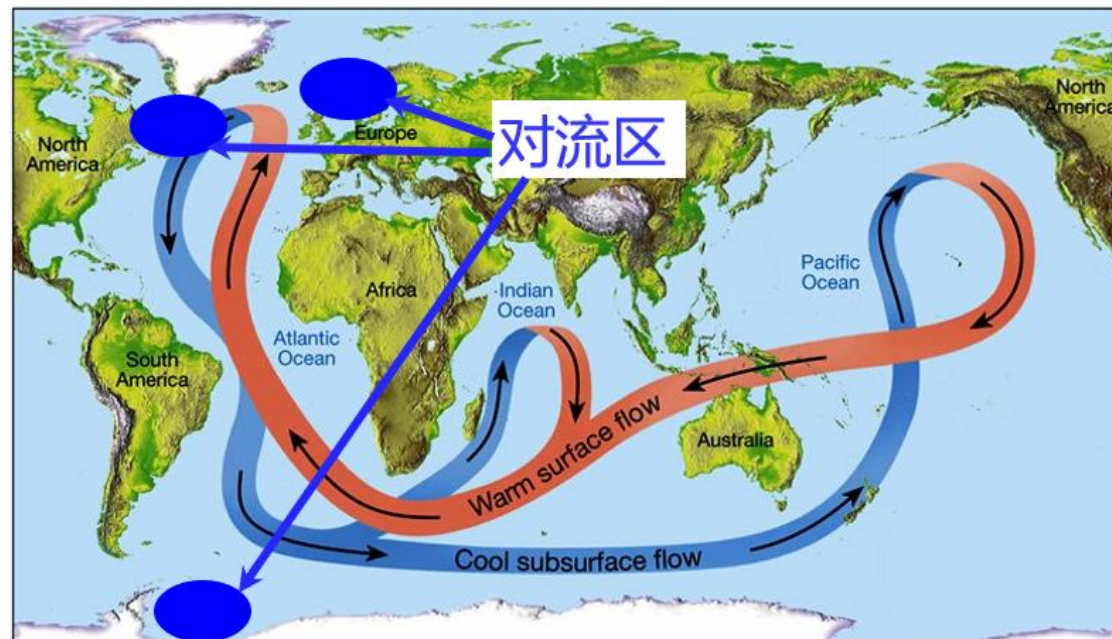
2. 模式原理

对流调整模块

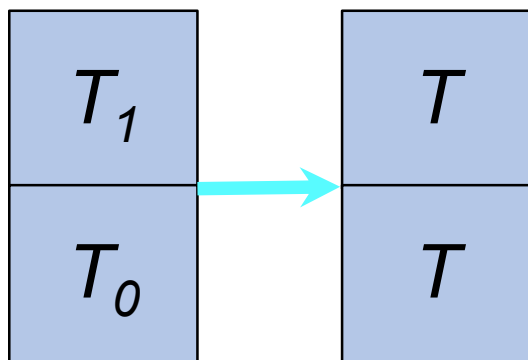
$$\begin{aligned} \frac{\partial T}{\partial t} = & -(u + u^*) \frac{\partial T}{\partial x} - (v + v^*) \frac{\partial T}{\partial y} - (w + w^*) \frac{\partial T}{\partial z} \\ & + K_h \Delta T + \frac{\partial}{\partial z} \left(K_v \frac{\partial T}{\partial z} \right) + R(K_I, T) \\ & + \frac{1}{\rho C_p} \frac{\partial I_0}{\partial z} \\ & + C_T \end{aligned}$$

+ C_T 表示深对流, 没有具体的表达式

表面冷却
海冰盐析



静力不稳定!



$$T = \frac{T_0 h_0 + T_1 h_1}{h_0 + h_1}$$



2.模式原理

对流调整模块

具体步骤如下：

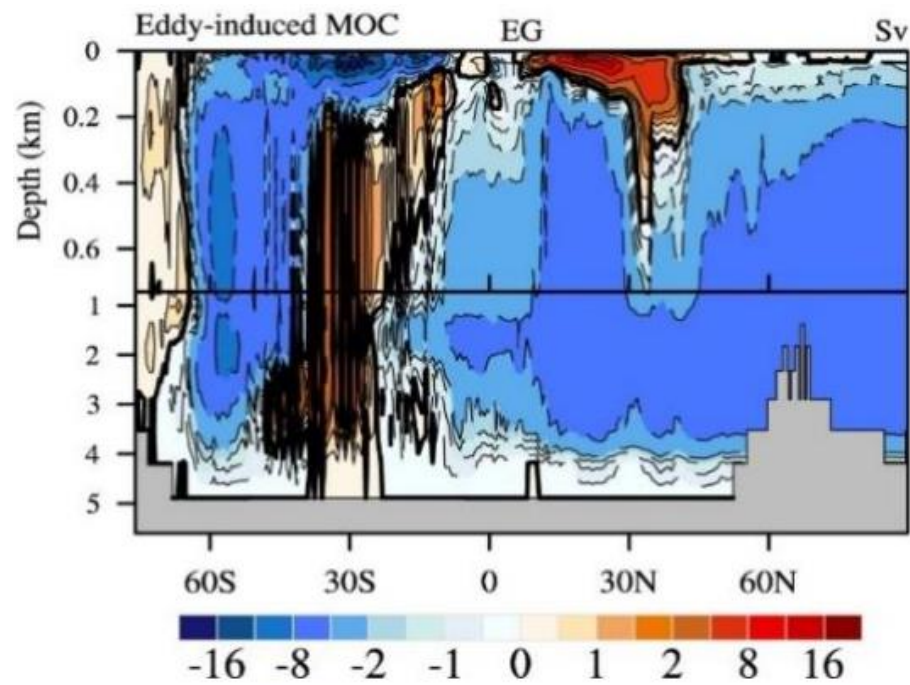
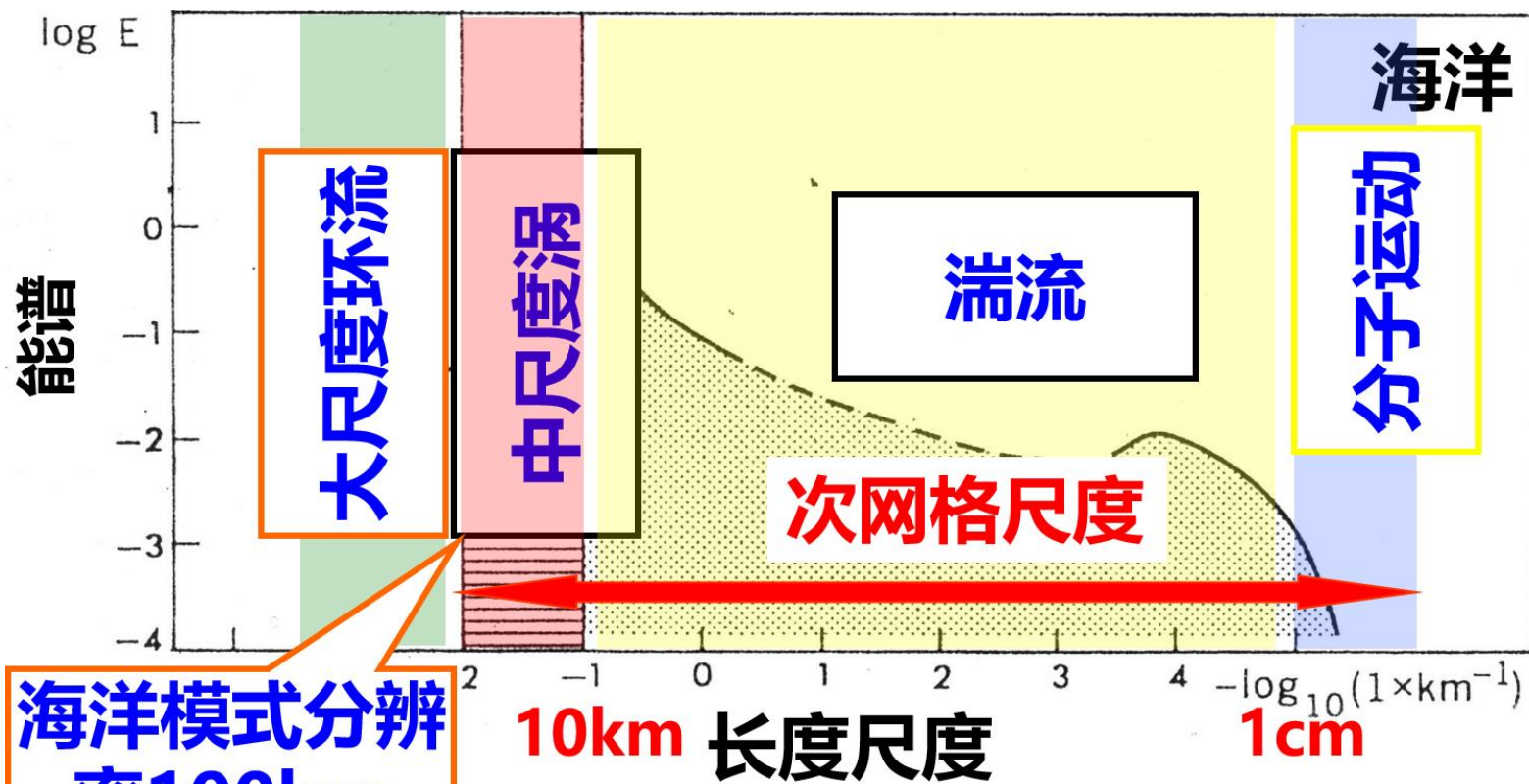
- (1) 顺序计算水柱中每一个网格元的位密度，相邻的网格采用相同的压力参考面；
- (2) 比较所有的位密度对，查找不稳定；
- (3) 混合最上面的不稳定对；
- (4) 检查下面的一层，如果这一层的位密度比混合后的位密度小，就把这三层混合起来，并继续按照这种方法处理更多的层，直到达到稳定；
- (5) 检查混合部分之上的一层，看是否有不稳定出现。如果有不稳定出现，重复步骤(3)；如果没有，继续查找混合部分之下的各层，若找到不稳定部分，则重复步骤(3)。

```
246     if( adv_tracer(1:8) == 'centered' ) then
247         if(ist >= 1)then
248             c2dtts = dts*2.0d0
249         else
250             c2dtts = dts
251         end if
252     else if( adv_tracer(1:5) == 'tspas' ) then
253         c2dtts = dts
254     else
255         if(mytid == 0) write(16,*)'error in convadj'
256     end if
257
258
259     do n = 1, ntra
260         do k = 1, km
261             ! for output dt diffusion
262             dt_conv(:, :, k, n, :) = (at(:, :, k, n, :) - atb(:, :, k, n, :)) / &
263                                     c2dtts*vit(:, :, k, :)
264         enddo
265     enddo
266
267     tend = tend + dt_conv ! total tendency
268
269     if(trim(adv_tracer) == 'tspas') then
270         atb(:, :, 1:km, :, :) = at(:, :, 1:km, :, :)
271     end if
272
273     return
274 end subroutine CONVADJ
```



2. 模式原理

中尺度涡参数化模块



涡致经圈翻转环流

中尺度涡是次网格尺度的主要运动形式，也是参数化的主要对象



2. 模式原理

中尺度涡参数化模块

以温度方程为例，GM90 方案在温度（以及盐度和其他示踪物）方程的平流项中引入了涡旋诱发的输送分量表达式如下：

$$\frac{\partial T}{\partial t} + (v + v^*) \frac{\partial T}{a \partial \theta} + (u + u^*) \frac{\partial T}{a \sin \theta \partial \lambda} + (w + w^*) \frac{\partial T}{\partial z} = R(A_T, T)$$

GM90方案 其中 $v^* = -\frac{\partial}{\partial z}(A_{TH} S_\theta)$, $u^* = -\frac{\partial}{\partial z}(A_{TH} S_\lambda)$

$$S_\theta = -\left(\frac{\partial \rho_{pot}}{\partial z}\right)^{-1} \frac{\partial \rho_{pot}}{a \partial \theta}, \quad S_\lambda = -\left(\frac{\partial \rho_{pot}}{\partial z}\right)^{-1} \frac{\partial \rho_{pot}}{a \sin \theta \partial \lambda}$$

u^* 和 v^* 为涡旋诱发的输送速度， A_{TH} 为沿等密度面的厚度扩散系数， S_θ 和 S_λ 为两个方向的等密度面的坡度。

调整后的水平混合系数具体计算公式如下：

$$K^z = \frac{A_H}{(1 + \delta^2)}$$
$$\times \begin{bmatrix} 1 + \frac{\rho_y^2 + \varepsilon \rho_x^2}{\rho_z^2} & (\varepsilon - 1) \frac{\rho_x \rho_y}{\rho_z^2} & (\varepsilon - 1) \frac{\rho_x}{\rho_z} \\ (\varepsilon - 1) \frac{\rho_x \rho_y}{\rho_z^2} & 1 + \frac{\rho_x^2 + \varepsilon \rho_y^2}{\rho_z^2} & (\varepsilon - 1) \frac{\rho_y}{\rho_z} \\ (\varepsilon - 1) \frac{\rho_x}{\rho_z} & (\varepsilon - 1) \frac{\rho_y}{\rho_z} & \varepsilon + \delta^2 \end{bmatrix}$$

R82方案

```
107 |-----|
108 | evaluate K2(,,3) centered on the northern face of "T" cells
109 |-----|
110 | call K2_3
111 |
112 |-----|
113 | evaluate K1(,,3) centered on eastern face of "T" cells
114 |-----|
115 | call K1_3
116 |
117 |-----|
118 | evaluate K3(,,1..3) centered on bottom face of "T" cells
119 |-----|
120 | call K3_123
121 |
122 |-----|
123 | compute isopycnal advective velocities for tracers
124 |-----|
125 | deallocate(e,rhoi)
126 | allocate(adv_vetiso(imt,km,jmt,max_blocks_clinic) )
127 |
128 | call ISOADV
129 |
130 | return
131 | end subroutine ISOPYC
```



2. 模式原理

Canuto湍流混合模块

扩散系数 $K_\rho(r, N, Ri, \varepsilon)$ 取决于密度比 r 、Brunt-Väisälä 频率 N 、Richardson 数 Ri 和动能耗散率 ε ，下标 $\rho=(m, h, s)$ 分别表示动量、热量和盐度。密度比的表达式为：

$$r = \alpha \partial_z \bar{\theta} / (\beta \partial_z \bar{S})$$

密度比和 Brunt-Väisälä 频率由海洋环流模式的大尺度场计算得到。剪切作用由 Richardson 数表征，并根据观测来调整临界 Richardson 数 (~ 1)，混合层内主要为风驱动的大尺度剪切，混合层之下则是小尺度剪切如内波为主。耗散率表示混合相关的物理过程，混合层内主要为风搅拌作用，在混合层下的开洋面上考虑内波破碎等，地形附近则考虑潮耗散或地热加热作用。该方案适用于双扩散稳定、双扩散不稳定、盐指和对流扩散情况：

双扩散稳定：($\partial_z T > 0, \partial_z S < 0, r_\rho < 0, Ri_T > 0$)

双扩散不稳定：($\partial_z T < 0, \partial_z S > 0, r_\rho > 0, Ri_T < 0$)

盐指：($\partial_z T > 0, \partial_z S > 0, r_\rho > 0, Ri_T > 0$)

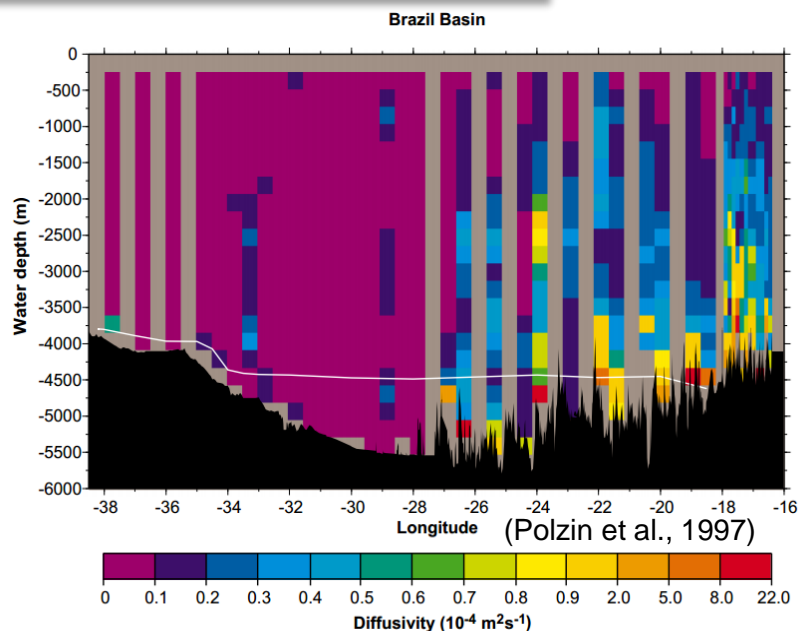
扩散对流：($\partial_z T < 0, \partial_z S < 0, r_\rho > 0, Ri_T > 0$)

该方案首先计算压力网格点上的粘性、扩散系数，然后使用隐式方案求解垂直扩散方程，并将粘性廓线水平插值到速度网格点，最后求解动量垂直粘性方程。

```
492 subroutine canuto_2010_interface(Km_out, Kh_out, Ks_out, Kd_out, mld_out, &
493                                ts_in, ss_in, rho_in, ri_in, rrho_in, &
494                                n2_in, s2_in, lat_in, lev_in, num_lev, i)
495
496 real(r8), parameter :: Rrho_bound = 1.d-3
497 real(r8), parameter :: Ri_low = -1.d+10
498 real(r8), parameter :: Ri_high = 1.d+10
499 integer, intent(in) :: num_lev, ii, jj, iblock, isc
500 real(r8), intent(in) :: lev_in(km), s2_in(km-1), n2_in(km-1), lat_in
501 real(r8), intent(in) :: ts_in(km), ss_in(km), rho_in(km), ri_in(km-1), rrho_in(km-1)
502 real(r8), intent(out) :: Km_out(km), Kh_out(km), Ks_out(km), Kd_out(km), mld_out
503 real(r8) :: struct_m, struct_h, struct_s, struct_rho
504 real(r8) :: struct_m_inf, struct_h_inf, struct_s_inf, struct_rho_inf
505 real(r8) :: mix_eff_m, mix_eff_h, mix_eff_s, mix_eff_rho
506 real(r8) :: Rf, Rf_inf, R, Rnew, R_inf, Rnew_inf, TKE_mld
507 real(r8) :: Ri(km-1), Rrho(km-1), Gm(km-1), out_pi(5), Gm0
508 real(r8) :: cube(4)
509 integer :: mld_lev, k
510
511 call find_mix_layer_depth(mld_out, mld_lev, rho_in, 0.03, lev_in, num_lev)
512
513
514 Ri(:) = Ri_in(:)
515 Rrho(:) = Rrho_in(:)
516
517 where (Ri_in > Ri_high)
518 Ri = Ri_high
519 elsewhere (Ri_in < Ri_low)
520
521 do k = 1, num_lev - 1
522 call prepare_pi(1.0d10, Rrho(k), out_pi(:))
523 call dyn_time_scale_calc(1.0d10, Rrho(k), out_pi(:), Gm(k), cube, ii, jj)
524 call struct_function(1.0d10, Rrho(k), out_pi(:), Gm(k), struct_m_inf, struct_h_inf, struct_s_inf, &
525                    struct_rho_inf, R_inf, Rnew_inf)
526
527 call Rf_calc(Rf_inf, 1.0d10, Rrho(k), struct_h_inf, struct_m_inf, Rnew_inf)
528 call prepare_pi(Ri(k), Rrho(k), out_pi(:))
529 call dyn_time_scale_calc(Ri(k), Rrho(k), out_pi(:), Gm(k), cube, ii, jj)
530 call struct_function(Ri(k), Rrho(k), out_pi(:), Gm(k), struct_m, struct_h, struct_s, struct_rho, R, Rnew)
531 call mixing_efficiency(mix_eff_m, struct_m, Ri(k), Gm(k))
532 call mixing_efficiency(mix_eff_h, struct_h, Ri(k), Gm(k))
533 call mixing_efficiency(mix_eff_s, struct_s, Ri(k), Gm(k))
534 call mixing_efficiency(mix_eff_rho, struct_rho, Ri(k), Gm(k))
535 call Rf_calc(Rf, Ri(k), Rrho(k), struct_h, struct_m, Rnew)
536
537 if (k <= mld_lev) then
538 call mixed_layer_TKE_calc(TKE_mld, mld_out, Gm(k), s2_in(k), lev_in(k), Rf, Rf_inf)
539 Km_out(k) = mix_eff_m * TKE_mld / (N2_in(k) + very_small)
540 Kh_out(k) = mix_eff_h * TKE_mld / (N2_in(k) + very_small)
541 Ks_out(k) = mix_eff_s * TKE_mld / (N2_in(k) + very_small)
542 Kd_out(k) = mix_eff_rho * TKE_mld / (N2_in(k) + very_small)
543 end if
544
545 if (k > mld_lev) then
546 call Thermocline_mixing_coeff_calc(Km_out(k), Kh_out(k), Ks_out(k), Kd_out(k), &
547                                  mix_eff_m, mix_eff_h, mix_eff_s, mix_eff_rho, &
548                                  N2_in(k), &
549
```

2. 模式原理

内潮混合模块



基于St. Laurent(2002)的理论:

$$k_v = k_0 + \frac{\Gamma \epsilon}{N^2} = k_0 + \frac{\Gamma q E(x,y)}{N^2 \rho} F(z),$$

背景扩散率 $k_0 = 0.1 \times 10^{-4} \text{m}^2 \text{s}^{-1}$, 混合效率 $\Gamma = 0.2$ (Osborn, 1980), q : 局地耗散效率。

内潮能量通量: $E(x,y) = 1/2 \rho_0 N_b \kappa h^2 \langle U^2 \rangle$,

N_b : 沿海床的浮力频率, κ 和 h : 地形粗糙度的波数和振幅尺度, $\langle U^2 \rangle$: 正压潮变化 (方差)。

垂直耗散结构: $F(z) = \frac{e^{-(z+H)/z_s}}{z_s(1-e^{-H/z_s})}$,

$z_s = 500 \text{m}$: 垂直衰减尺度, H : 水柱总深度, $F(z)$ 满足 $\int_{-H}^0 F(z) dz = 1$ 。

```
330 #if( defined TIDEMIX )
331     ak_tide(i,j,:,iblock)=0.0
332     do k = 1,int(kmt(i,j,iblock))-1
333         ak_tide(i,j,k,iblock) = &
334             back_tidalmixing + mixing_ef* &
335             local_mixing_fraction*wave_dis(i,j,iblock)* &
336             fz_tide(i,j,k,iblock)/(dmax1(riect(i,j,k,iblock), &
337                 1.0d-8)*(wp3(k)*1000.0))
338
339         ak_tide(i,j,k,iblock) = &
340             dmin1(ak_tide(i,j,k,iblock),max_tidalmixing)
341
342         richardson(i,j,k,iblock) = riect(i,j,k,iblock)
343         fztidal(i,j,k,iblock) = fz_tide(i,j,k,iblock)
344         wp3_tidal(i,j,k,iblock) = wp3(k)
345     end do
"readyc.F90" 670 lines --51%--
415 #if( defined TIDEMIX )
416     if(mytid == 0 ) then
417         iret = NF_OPEN('tidal_energy.nc',nf_nowrite,ncid1)
418         call CHECK_ERR(iret)
419     endif
420
421     do k = 1,1
422         start2(1) = 1 ; count2(1) = imt_global
423         start2(2) = 1 ; count2(2) = jmt_global
424
425         if(mytid == 0) then
426             iret = NF_GET_VARA_DOUBLE(ncid1, 5,start2,count2,buffer)
427             call CHECK_ERR(iret)
428             do j = 1 ,jmt_global/2
429                 do i = 1, imt_global
430                     xx_r8 = buffer(i,j)
431                     yy_r8 = buffer(i,jmt_global+1-j)
432                     buffer(i,jmt_global+1-j) = xx_r8
433                     buffer(i,j) = yy_r8
434                 end do
435             end do
436         endif
437
438         call SCATTER_GLOBAL(wave_dis(:,:,,:), buffer, master_task, &
439             distrib_clinic, field_loc_center, &
440             field_type_scalar)
441     end do
"rdriver.F90" 663 lines --62%--
```

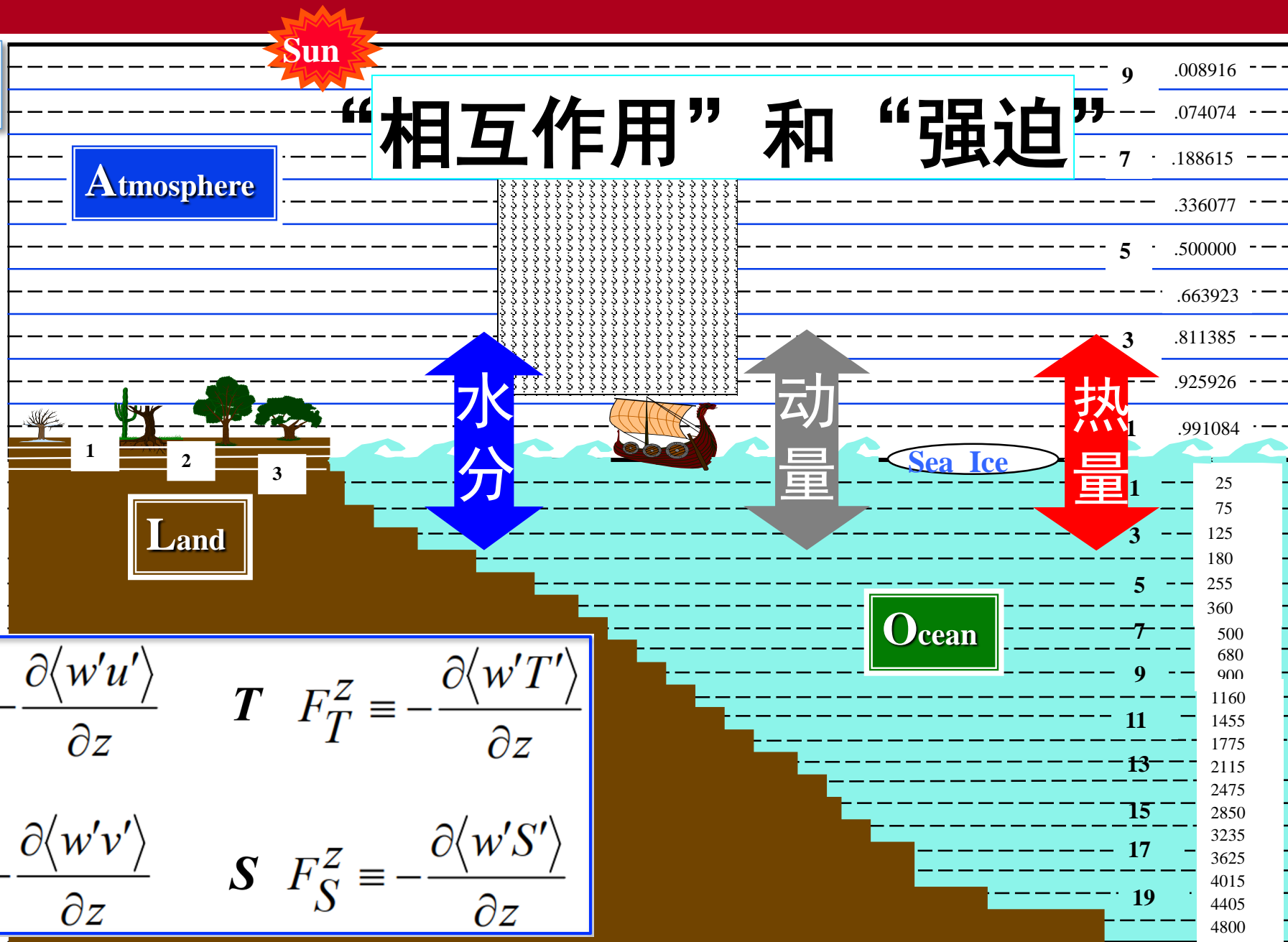
2. 模式原理

海表边界条件模块

海洋环流主要由三种“外部”影响所驱动：

- ✓ 风
- ✓ 加热/冷却
- ✓ 蒸发/降水

$$\begin{aligned}
 U \quad F_u^z &\equiv -\frac{\partial \langle w'u' \rangle}{\partial z} & T \quad F_T^z &\equiv -\frac{\partial \langle w'T' \rangle}{\partial z} \\
 V \quad F_v^z &\equiv -\frac{\partial \langle w'v' \rangle}{\partial z} & S \quad F_S^z &\equiv -\frac{\partial \langle w'S' \rangle}{\partial z}
 \end{aligned}$$



2. 模式原理

海表边界条件模块

动量方程、位温方程和盐度方程的海表边界条件分别是：

$$-\langle w'u' \rangle \Big|_{z=z_0} = \frac{1}{\rho_0} \tau_x$$

$$-\langle w'v' \rangle \Big|_{z=z_0} = \frac{1}{\rho_0} \tau_y$$

$$-\langle w'T' \rangle \Big|_{z=z_0} = \frac{1}{\rho_0 c_p} (Q_{LW} + Q_S + Q_L)$$

$$-\langle w'S' \rangle \Big|_{z=z_0} = -\frac{S_0}{\rho_0} (P - E + R)$$

以上三式的左端是海洋的垂直湍流通量，右端项分别涉及风应力、热通量和淡水通量，其中，参数 $\rho_0=1029 \text{ kgm}^{-3}$ 和 $c_p=3901 \text{ Jkg}^{-1}\text{K}^{-1}$ 分别是海水的参考密度和定压比热。

```
75 do iblock = 1, nblocks_clinic
76   this_block = GET_BLOCK(blocks_clinic(iblock), iblock)
77   do j = this_block%je, this_block%jb, -1
78     do i = this_block%ib, this_block%ie
79       tsf(i,j,iblock) = (latl(i,j,iblock) + sen(i,j,iblock) + &
80                        lwup(i,j,iblock) + lwdn(i,j,iblock) + &
81                        netsw(i,j,iblock) + melth(i,j,iblock) - &
82                        iceoff(i,j,iblock)*shr_const_latice - &
83                        snowl(i,j,iblock)*shr_const_latice)*ODOCP
84       ! net heat flux
85
86       swv(i,j,iblock) = netsw(i,j,iblock) ! net solar radiation
87       nswv(i,j,iblock) = latl(i,j,iblock) + sen(i,j,iblock) + &
88                        lwup(i,j,iblock) + lwdn(i,j,iblock) + &
89                        melth(i,j,iblock) - &
90                        iceoff(i,j,iblock)*shr_const_latice - &
91                        snowl(i,j,iblock)*shr_const_latice
92       ! net heat flux error
93
94       ssf(i,j,iblock) = - (prec(i,j,iblock) + evap(i,j,iblock) + &
95                          meltw(i,j,iblock) + roff(i,j,iblock) + &
96                          iceoff(i,j,iblock) + &
97                          salt(i,j,iblock))*ODO*34.7*1.0D-3/DZP(1)
98
99       tmp_su(i,j,iblock) = tau_x(i,j,iblock)*cos(anglet(i,j,iblock)) + &
100                        tau_y(i,j,iblock)*sin(anglet(i,j,iblock))
101       tmp_sv(i,j,iblock) = -tau_y(i,j,iblock)*cos(anglet(i,j,iblock)) + &
102                        tau_x(i,j,iblock)*sin(anglet(i,j,iblock))
103     end do
104   end do
105 end do
106
"POST CPL_mod_add.F90" 202 lines --37%--
```



2. 模式原理

底边界层模块

海底边界条件分为两部分：

✓ 海底地形的抬升作用；

$$w|_{z=-H} = -(\mathbf{v} \cdot \nabla H)|_{z=-H}$$

✓ 海底摩擦效应；

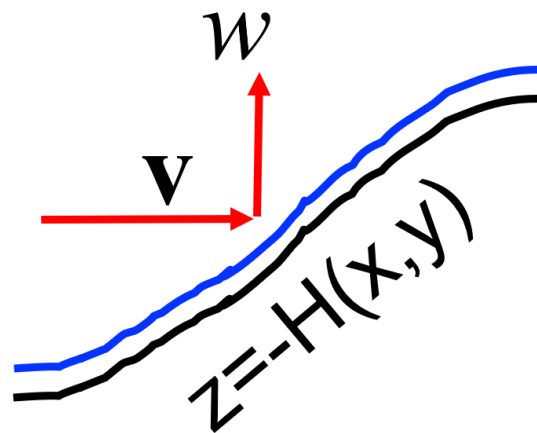
$$-\langle w'v' \rangle_{z=-H} = \frac{1}{\rho_0} \tau_b$$

底摩擦应力 τ_b 由参数化给出：

$$(\tau_{b\theta}, \tau_{b\lambda}) = \rho_0 C_0 \sqrt{u_b^2 + v_b^2} (u_b \sin \alpha + v_b \cos \alpha, u_b \cos \alpha - v_b \sin \alpha)$$

其中， $\tau_{b\theta}$ 和 $\tau_{b\lambda}$ 为海底的摩擦应力； $C_0=2.6 \times 10^{-3}$ ；

如果余纬 $\theta > 90^\circ$ 时 $\alpha = 10^\circ$ ，而 $\theta < 90^\circ$ 时 $\alpha = -10^\circ$ 。



```
580     do iblock = 1, nblocks_clinic
581       do j = 2, jmt-1
582         do i = 2, imt-1
583           kmb = kmu(i, j, iblock)
584           if(kmb >= 1) then
585             sbcx(i, j, iblock) = su(i, j, iblock)* od0
586             sbcy(i, j, iblock) = sv(i, j, iblock)* od0
587             bbcx(i, j, iblock) = &
588               c0f*sqrt(up(i, j, kmb, iblock)*up(i, j, kmb, iblock) + &
589                 vp(i, j, kmb, iblock)*vp(i, j, kmb, iblock))* &
590               (up(i, j, kmb, iblock)*cag+snlat(i, j, iblock)* &
591                 vp(i, j, kmb, iblock)*sag)
592             bbcy(i, j, iblock) = &
593               c0f*sqrt(up(i, j, kmb, iblock)*up(i, j, kmb, iblock) + &
594                 vp(i, j, kmb, iblock)*vp(i, j, kmb, iblock))* &
595               (-snlat(i, j, iblock)*up(i, j, kmb, iblock)* &
596                 sag+vp(i, j, kmb, iblock)*cag)
597           else
598             sbcx(i, j, iblock) = 0.0d0
599             sbcy(i, j, iblock) = 0.0d0
600             bbcx(i, j, iblock) = 0.0d0
601             bbcy(i, j, iblock) = 0.0d0
602           endif
603           dlub(i, j, iblock) = dlub(i, j, iblock) + (sbcx(i, j, iblock) - &
604             bbcx(i, j, iblock))*ohbu(i, j, iblock)
605           dlvb(i, j, iblock) = dlvb(i, j, iblock) + (sbcy(i, j, iblock) - &
606             bbcy(i, j, iblock))*ohbu(i, j, iblock)
607         enddo
608       enddo
609     enddo
"READYC_mod_add.F90" 692 lines --88%--
```



3. 数据制备

初始场

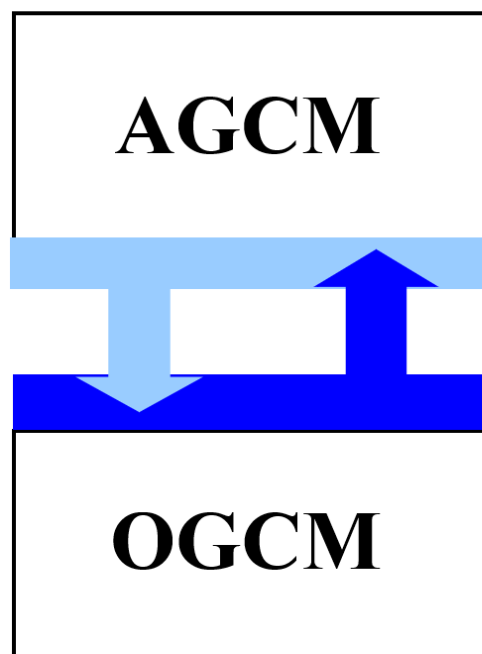
“冷”启动:

`start_type = 'startup'`
通常初始速度为0, 海洋温、盐场取自观测, 或者指定的数据;

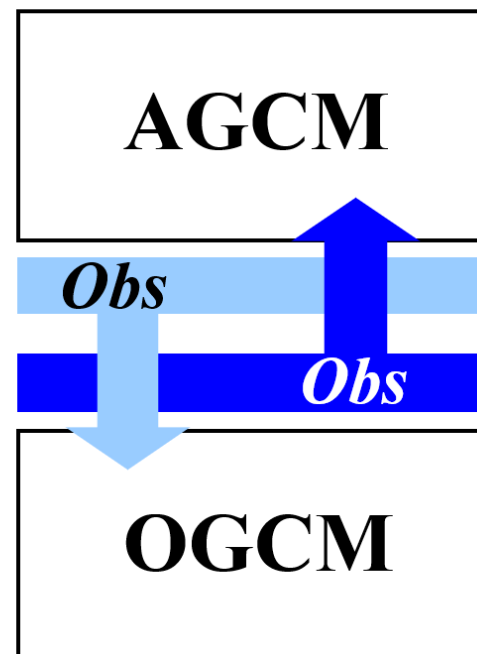
“热”启动:

`start_type = 'continue'`
初始场取自模式运行过程中保存的瞬时重新启动场文件。

Coupled Mode



Uncoupled Mode



强迫场

变量

10m空气密度

向下的长波辐射

降水

10m比湿

径流量

海平面气压

向下的短波辐射

向上的短波辐射

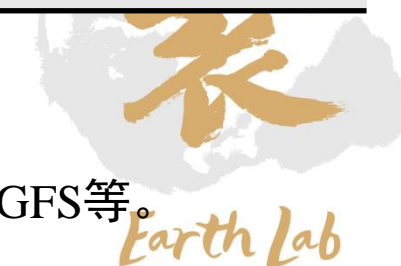
10m气温

10m纬向风

10m经向风

常用的海洋温、盐气候态观测数据集有: WOA、PHC3.0等;

常用的强迫场数据集有: CORE-I (NYF), CORE-II (IAF), JRA55-do, ERA20C, CRA, GFS等。



3.数据制备

模式输出结果

海洋模式瞬时重启动场文件 fort.22.0001(年)-02(月)-01(日)

h0	海表面高度
u	纬向海流
v	经向海流
at(1)	海温
at(2)	盐度
ws	垂向速度
su	纬向风应力
sv	经向风应力
swv	短波辐射
lwv	长波辐射
sshf	感热
lthf	潜热
fresh	虚盐度通量

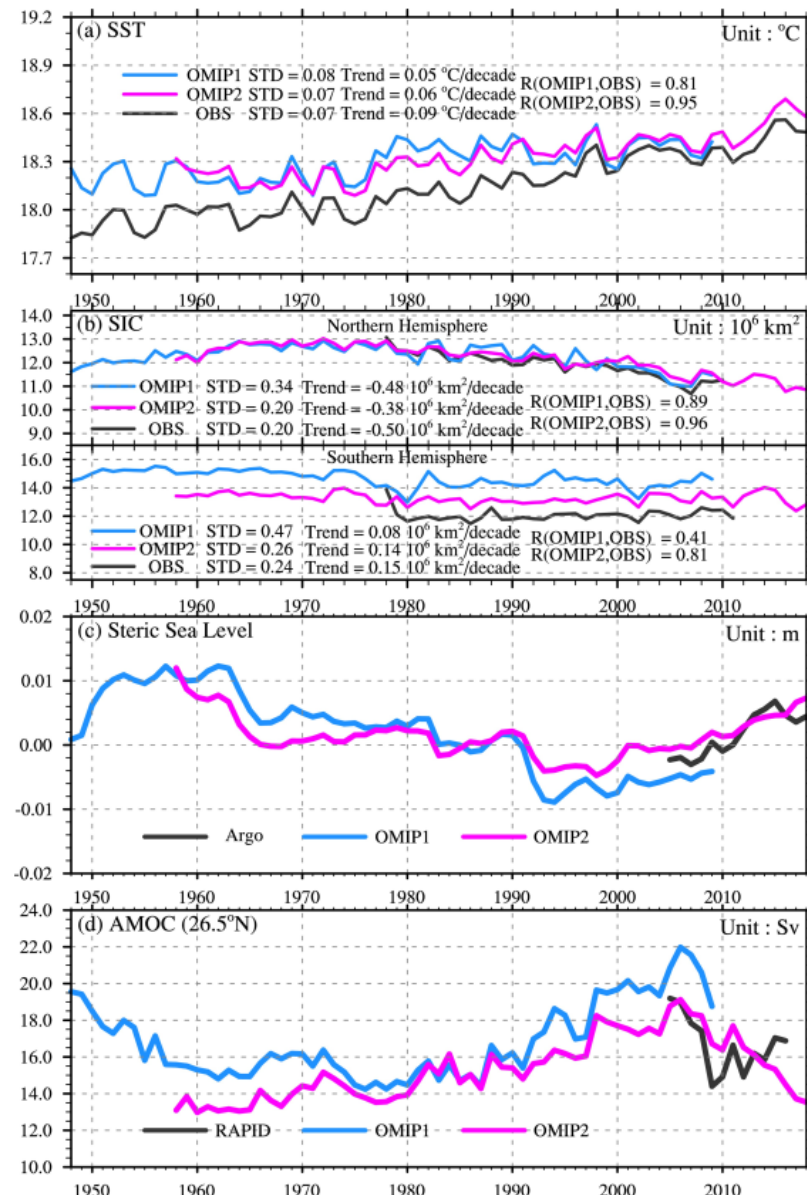
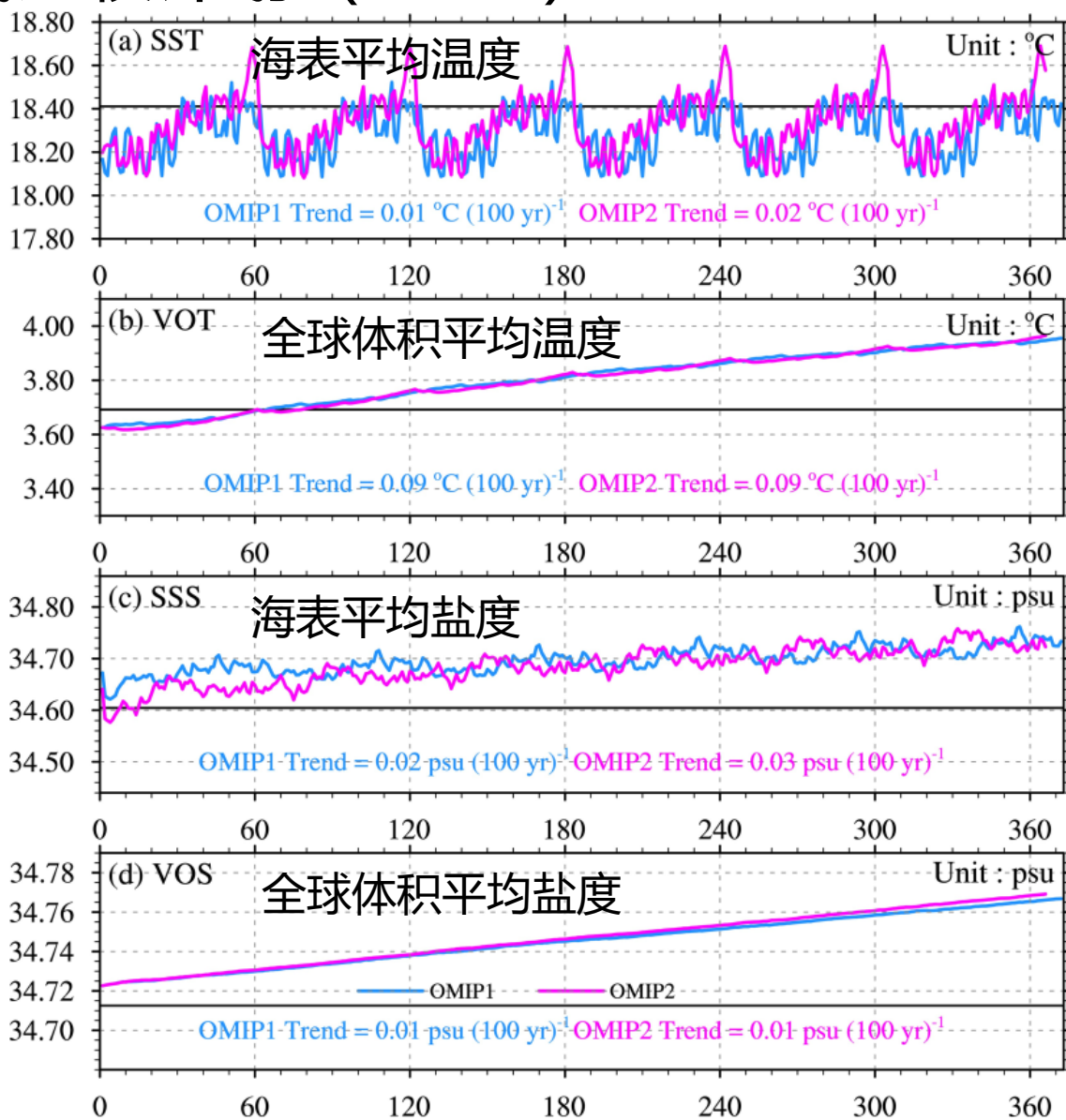
海洋模式月平均输出结果——MMEAN0001(年)-01(月).nc

time	时间	akt/aks	湍流扩散系数
lat/lon	经纬度 (T网格)	aktide	潮致扩散系数
ulat/ulon	经纬度 (U网格)	athkdf	厚度扩散系数
lat_aux	纬向辅助网格	su	纬向风应力
lev1/lev	整/半层垂直网格	sv	经向风应力
area	网格面积 (T点)	net1	净的海表热通量
z0	海表面高度	lthf	潜热
ts	海温	sshf	感热
ss	盐度	lwv	长波辐射
us	纬向海流	swv	短波辐射
vs	经向海流	qice	海冰溶解热
ifrac	海冰密集度	net2	净的盐度通量
ustar	涡致纬向流速	fresh	虚盐度通量
vstar	涡致经向流速	runoff	径流
wstar	涡致垂向流速	psi_euler	欧拉经圈翻转环流
ws	垂向速度	psi_eddy	涡致经圈翻转环流
mld	混合层深度	bsf	正压流函数
ic1	通风层数(包括对流)	mth_adv	经向热输送(欧拉)
ic2	通风层数	mth_adv_is o	经向热输送(中尺度涡)
akm	湍流黏性系数	mth_dif	经向热输送(扩散)

```
[yuzp@login01 run]$ ncdump -h MMEAN0001-02.nc
netcdf MMEAN0001-02 {
dimensions:
    y = 218 ;
    lat_aux = 316 ;
    tracer_dim = 2 ;
    x = 360 ;
    basin = 2 ;
    lev = 30 ;
    lev1 = 31 ;
    time = UNLIMITED ; // (1 currently)
variables:
    float lat(y, x) ;
        lat:long_name = "latitude (on T grids)" ;
        lat:units = "degrees_north" ;
    float lon(y, x) ;
        lon:long_name = "longitude (on T grids)" ;
        lon:units = "degrees_east" ;
    float ulat(y, x) ;
        ulat:long_name = "latitude (on U grids)" ;
        ulat:units = "degrees_north" ;
    float ulon(y, x) ;
        ulon:long_name = "longitude (on U grids)" ;
        ulon:units = "degrees_east" ;
    double lat_aux(lat_aux) ;
    float lev(lev) ;
        lev:long_name = "depth (on T grids)" ;
        lev:units = "meter" ;
    float lev1(lev1) ;
        lev1:long_name = "depth (on V grids)" ;
        lev1:units = "meter" ;
    double time(time) ;
        time:long_name = "time" ;
        time:units = "months since 0001-01-01" ;
    float area(y, x) ;
        area:long_name = "T grid cell area" ;
        area:units = "m*m" ;
        area:_FillValue = 1.e+35f ;
        area:coordinates = "lon lat" ;
    float z0(time, y, x) ;
        z0:long_name = "sea surface height" ;
        z0:units = "meter" ;
```


4. 结果诊断分析与应用案例

海洋模式比较计划 (OMIP)



海表平均温度

海冰密集度

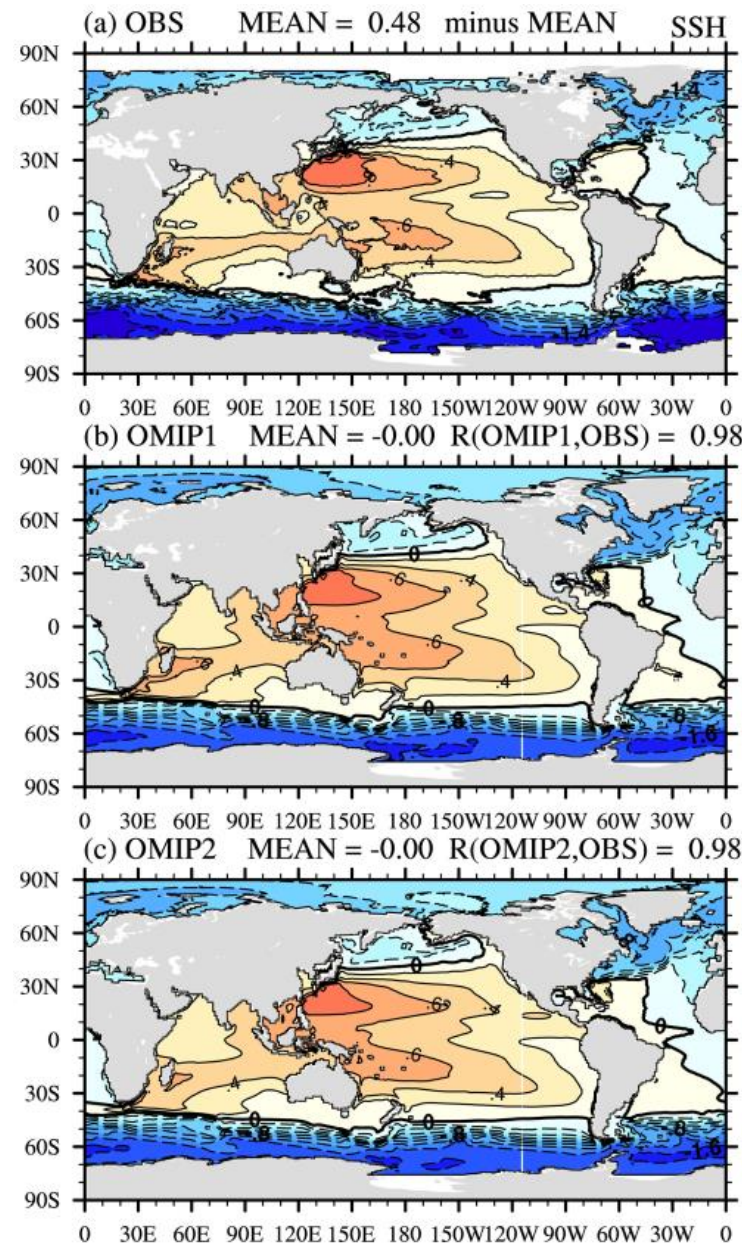
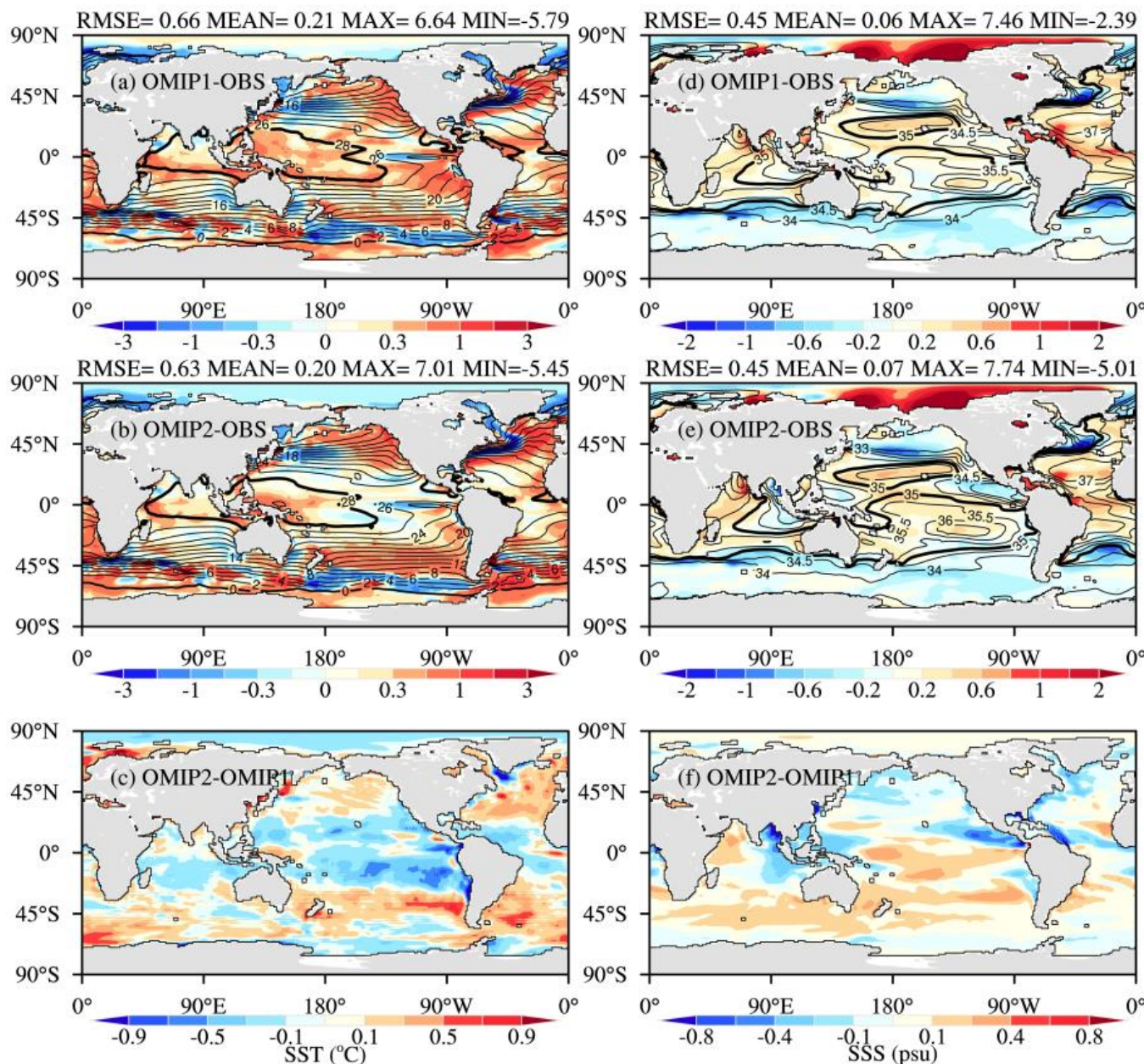
比容海面

AMOC 指数

h Lab

4. 结果诊断分析与应用案例

海表面温度、海表面盐度与观测的对比

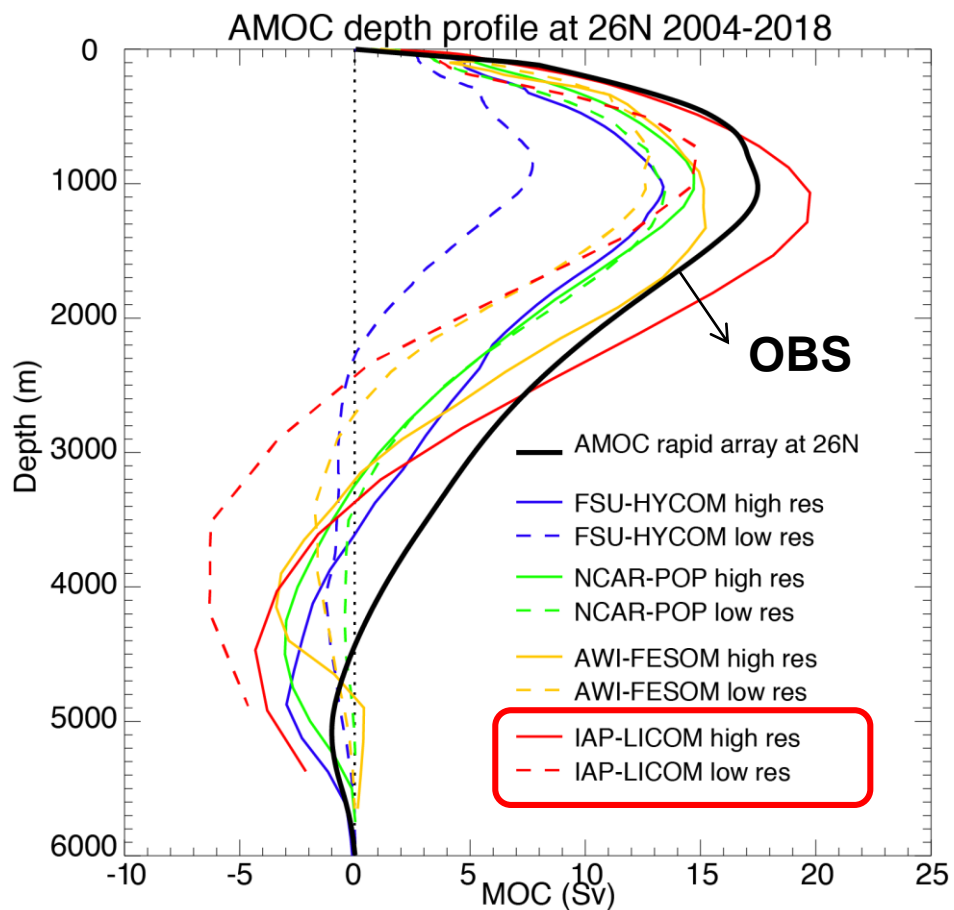


海表面高度异常与观测的对比



4. 结果诊断分析与应用案例

北大西洋经圈翻转环流AMOC

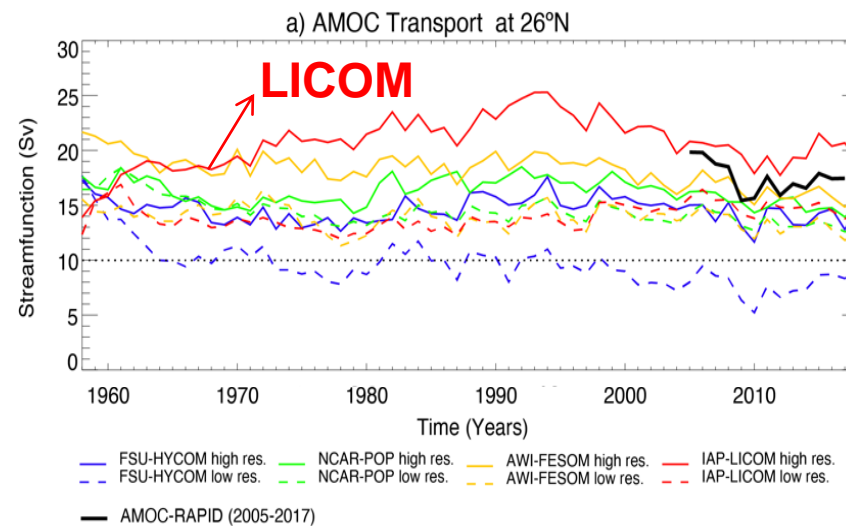


中国 LICOM
美国 HYCOM
美国 POP
德国 FESOM

模拟61年

LICOM3模
拟AMOC上
层结构与观
测接近

AMOC时间变化



LICOM3模拟AMOC时间演变与观
测基本一致

Chassignet et al. 2020, GMD

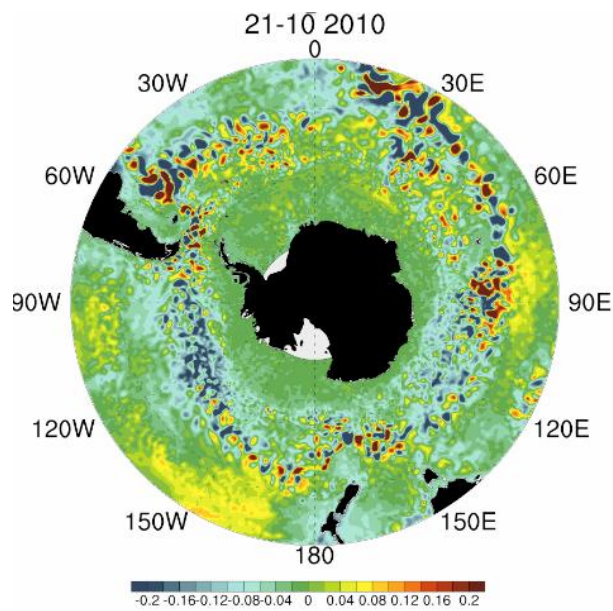
Li et al. 2020 AAS

4. 结果诊断分析与应用案例

1/10°, 平均7km

范围	全球, 0-6000米水深, 垂直55层
网格	三极网格, 3600X2302X55
物理参数化方案	垂直混合, 潮混合, 双调和+Leith 粘性
CPU	并行, 提高3倍性能

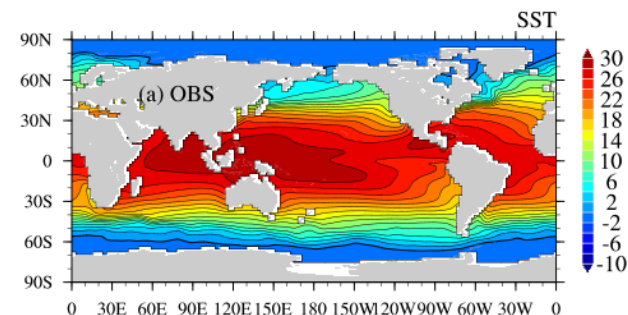
LICOM3
模拟的
海表高度
异常



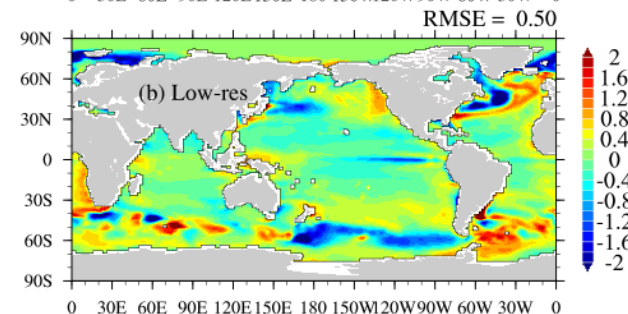
分辨海洋中尺度涡旋

观测

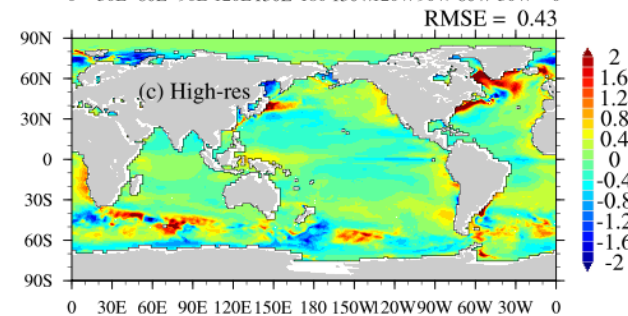
海表面温度SST&偏差



低分辨率
LICOM



高分辨率
LICOM

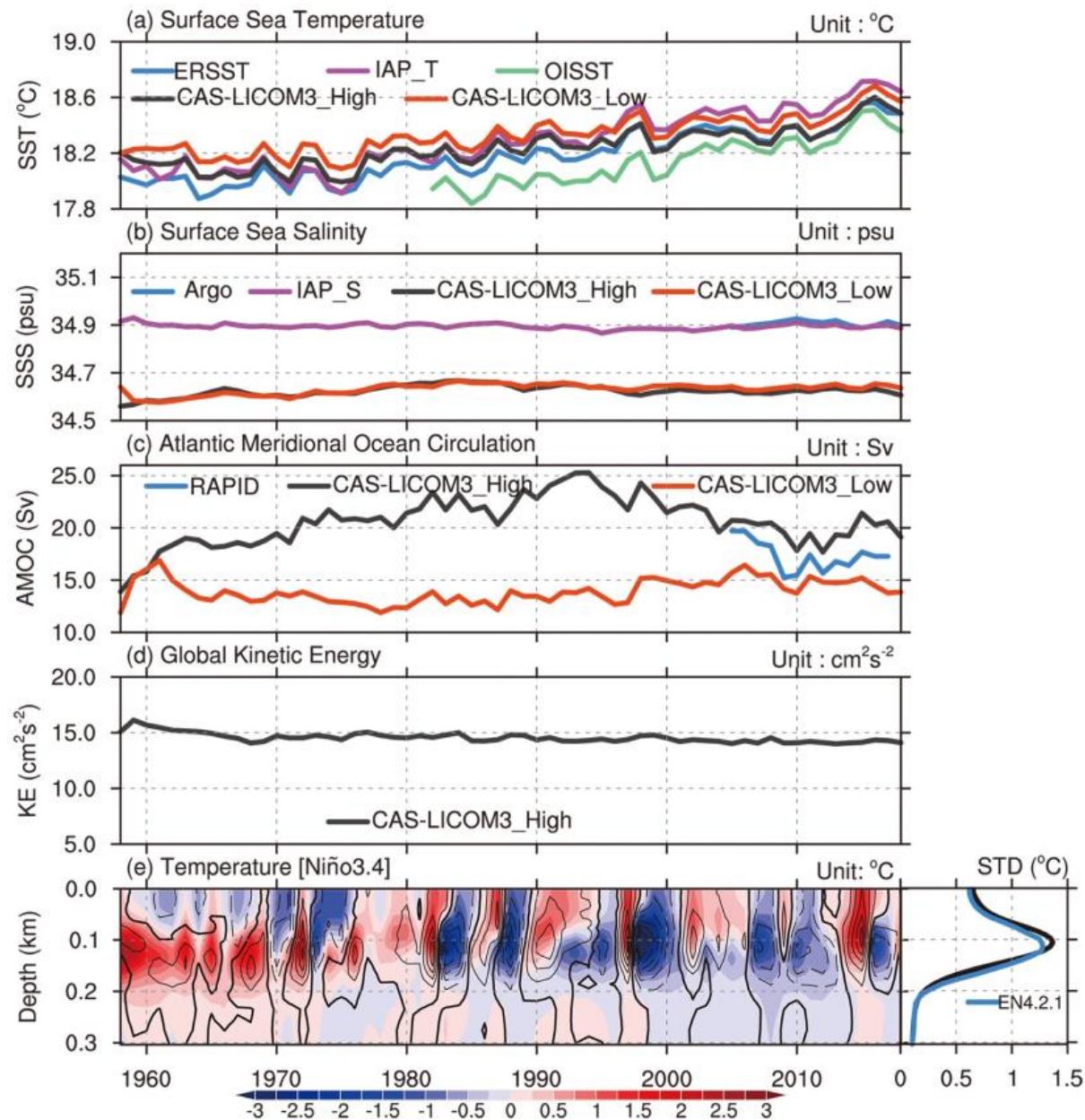


高分辨率模拟的SST偏差减小



4. 结果诊断分析与应用案例

高分辨率海洋模式 比较计划



海表平均温度

海表平均盐度

AMOC
指数

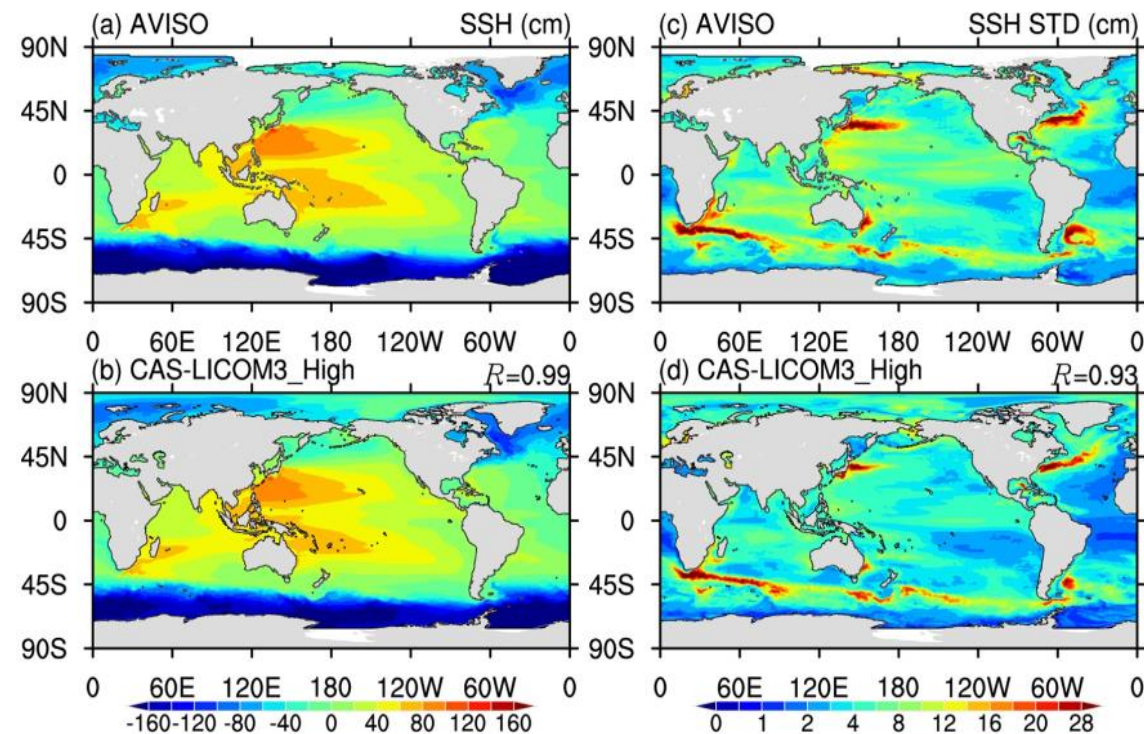
全球动能

海温廓线

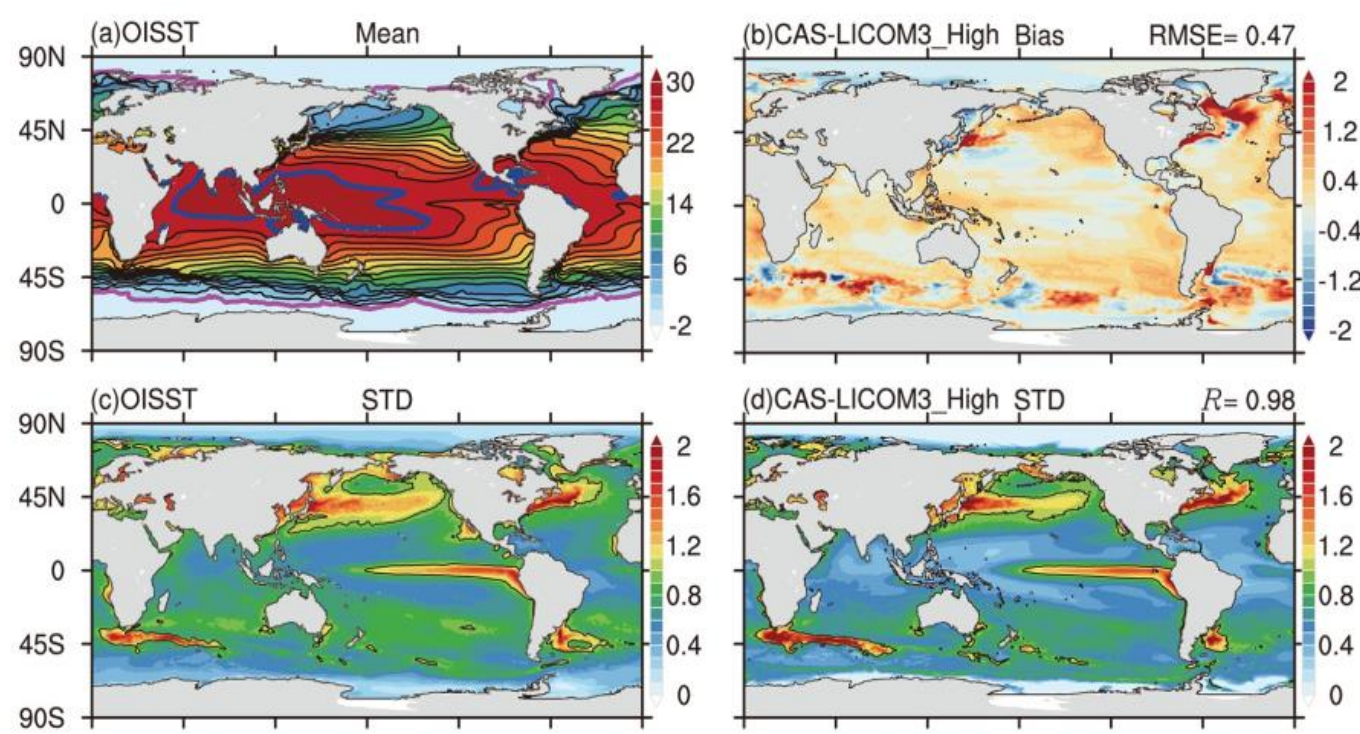


4. 结果诊断分析与应用案例

海表面高度

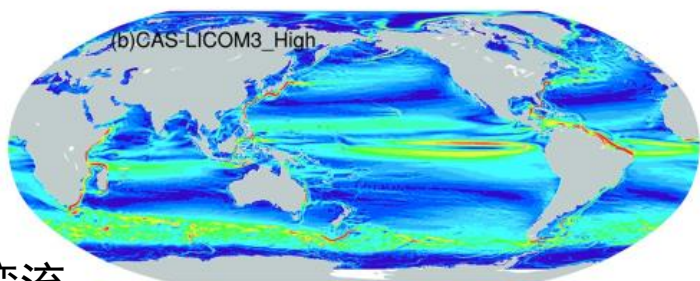
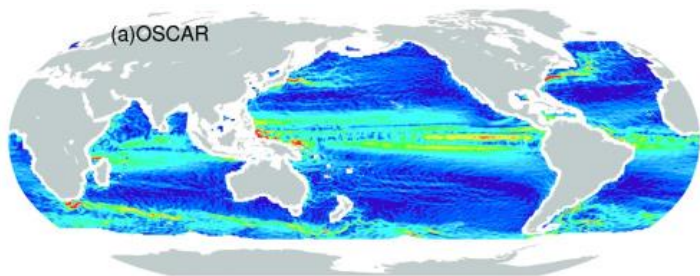


海表面温度



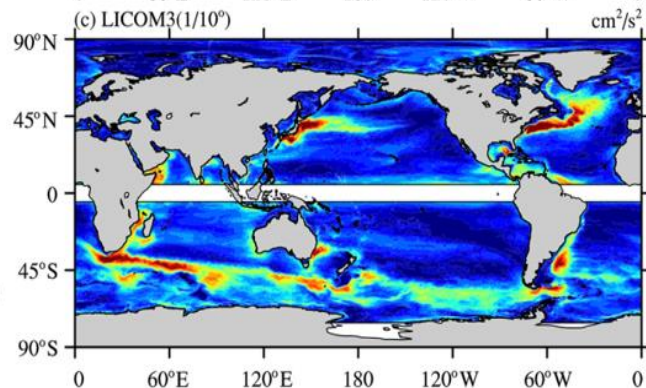
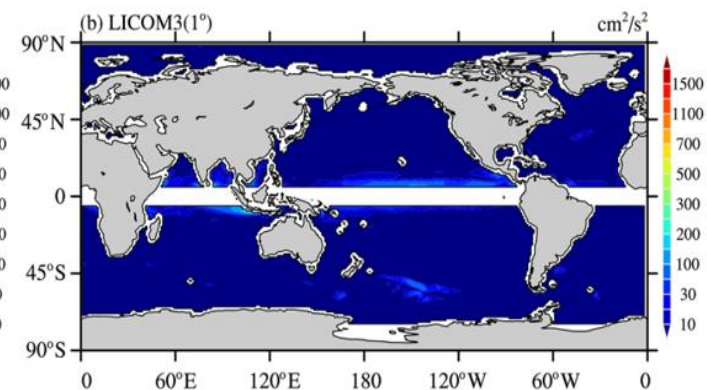
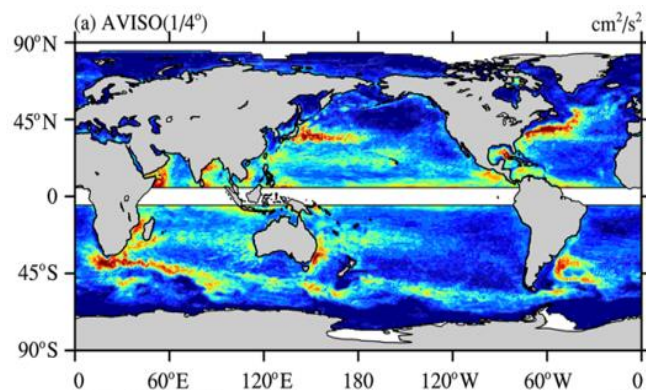
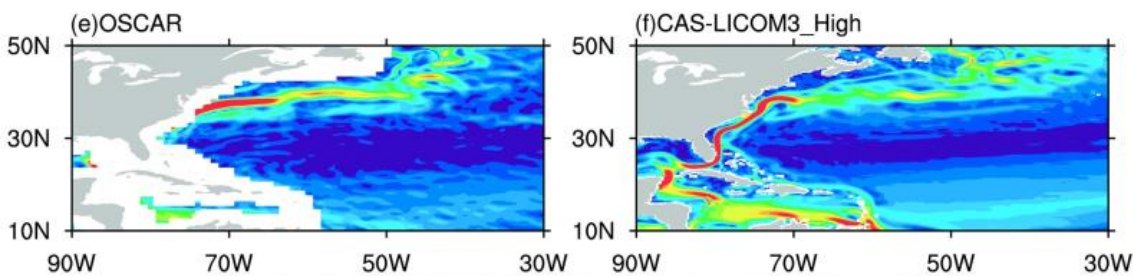
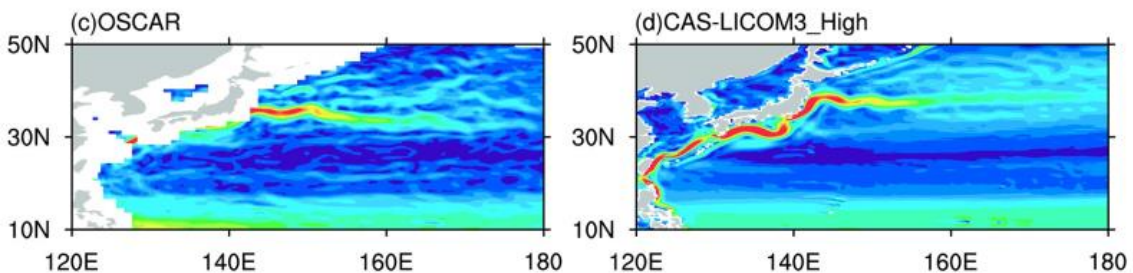
4. 结果诊断分析与应用案例

海流



湾流

黑潮



不同分辨率
LICOM模式模拟
的中尺度涡动能



谢 谢

